



## تطبيق نموذج جافريوفيك EPM لتقدير التعرية المائية للترابة باستخدام تقنيات الاستشعار عن بعد ونظم المعلومات الجغرافية بحوض وادي دجلة (دراسة في الجيومورفولوجيا البيئية)

د/ فاطمة عبد الرافع عبد الفتاح محمد<sup>(\*)</sup>

### الملخص

يضم وادي دجله محميه وادي دجله والتي تكتسب أهمية خاصة في الدراسات الجيومورفولوجية البيئية، نظراً ل تعرضها للعديد من الأخطار الطبيعية والبشرية التي أسهمت في تغيير طبوغرافيه المنطقة، وتدمير أجزاء منها، بالإضافة لمحورية موقعها، ووقوعها في نطاق عدة محافظات تتسم بالكثافة السكانية العالية، على نحو يجعل منها متفساً طبيعياً لهم، فضلاً عن معرفة مدى صلاحيتها للمساهمة في تنمية السياحة الجيومورفولوجية.

يشكل خطر الجريان السيلي أحد اهم الأخطار الطبيعية التي تتعرض لها منطقة الدراسة، لما لها من إثر بالغ على عمليات التنمية المستدامة، نظراً لما يتميز به من فجائيه في الحدوث، وأثار تدميرية قد تصل إلى حد الكارثة في بعض الأحيان.

ومن خلال دراسة الخصائص الطبيعية والبشرية للوادي أمكن تطبيق نموذج التعرية المائية لجافريوفيك EPM لدراسة الأحواض الجبلية والمناطق المتضرسة، ويعتمد في تطبيق نموذج EPM على عدة مؤشرات منها معامل الانحدار، ومؤشر الغطاء النباتي، ومؤشر حماية التربة، أو خريطة التكوينات الجيولوجية السطحية، والمعدل السنوي لتساقطات الأمطار، ومعامل الحرارة، ومن خلال دمج المؤشرات السابقة في برامج نظم المعلومات الجغرافية ثم حساب معامل التعرية المحتملة والتقدير النوعي والكمي لها.

وقد تم تصنيف مستويات التعرية طبقاً لقيمة معامل التعرية المحتملة إلى خمسة فئات تشكل التعرية الشديدة والمتوسطة نحو ٨٨,٥ % من الوادي، وتتوزع ١١,٥ % على باقي المستويات، وتظهر التعرية بوضوح في الركن الجنوبي الغربي والجنوبي الشرقي للوادي، بينما يتمثل حجم التربة المقلعة في ثلاثة فئات في الوادي، وهي فئة التعرية الضعيفة حيث تتراوح من ٥٠ - ٥٠٠ متر مكعب في العام وتشغل أكثر من ٥٦ % من الوادي، وتتوزع ٤٣ % على التعرية المتوسطة التي تتراوح بين (٥٠٠ - ١٥٠٠) متر مكعب في العام، وفئة التعرية غير الواضحة التي تمثل أقل من ٥٠ متر مكعب في العام، وتعد أكبر قيمة للتعرية هي ١٣٥١.٧٣ متر مكعب في العام وتظهر في الركن الجنوبي الغربي للوادي .

**الكلمات المفتاحية:** وادي دجلة، نموذج جافريوفيك EPM، التعرية المائية، نظم المعلومات الجغرافية، الاستشعار عن بعد

<sup>(\*)</sup> مدرس بكلية الدراسات الإنسانية، جامعة الأزهر، القاهرة.

## Application Of The Gavrilovic EPM Model To Estimate Soil Erosion Using Remote Sensing And GIS Techniques In Wadi Degla Basin (A Study In Environmental Geomorphology)

### **Abstract**

Wadi Degla includes the Tigris Valley Protected Area, which is of particular importance in environmental geomorphological studies, given its exposure to many natural and human hazards. Which contributed to changing the topography of the region, and destroying parts of it, in addition to the centrality of its location, and its being located within the scope of several governorates characterized by high population density, in a way that makes it a natural outlet for them, in addition to knowing the extent of its suitability to contribute to the development of geomorphological tourism.

The risk of flash floods is one of the most important natural hazards facing the study area, due to its significant impact on sustainable development processes, given its sudden occurrence and destructive effects that may sometimes reach the level of a catastrophe.

By studying the natural and human characteristics of the valley, it was possible to apply the Gavrilovic Erosion Model (EPM) to study mountain basins and rugged areas. The application of the EPM model relies on several indicators, including the slope coefficient. The vegetation cover index, the soil protection index, or the map of surface geological formations, the annual rainfall rate, and the temperature coefficient. By integrating the previous indicators into geographic information systems programs, then calculating the potential erosion coefficient and its qualitative and quantitative assessment,

The erosion levels were classified according to the value of the potential erosion coefficient into five categories. Severe and moderate erosion constitute about 88.5% of the valley, and 11.5% is distributed among the remaining levels. Erosion is clearly visible in the southwest and southeast corners of the valley, while the volume of uprooted soil is represented in three categories in the valley, This is the weak erosion category, which ranges from 50-500 cubic meters per year and occupies more than 56% of the valley, and 43% is distributed over medium erosion, which ranges from (500-1500) cubic meters per year, and the unclear erosion category, which represents less than 50 cubic meters per year, and the largest erosion value is 1351.73 cubic meters per year and appears in the southwestern corner of the valley.

**Keywords:** Wadi Degla – Gavrilovic EPM Model – Water Erosion – Geographic Information Systems – Remote Sensing

## المقدمة

أصبحت الدراسات الجيومورفولوجية أحد أهم ركائز العملية التخطيطية في دول العالم المتقدمة والبنك الدولي وبعض الوكالات المرتبطة به مثل US Agency for International Development (USAID) (Cooke and Doornkamp, 1993) ، وتنجلى أهمية الدراسات الجيومورفولوجية في عملية تقييم الآثار البيئية من خلال تحليل الأشكال الأرضية والعوامل المؤدية إلى تكوين المواد السطحية بواسطة عمليات التعرية. وتعتمد نتائج التحليل على الخرائط الجيومورفولوجية المزودة بتحليل منظم لكل من العمليات Process والمواد Materials وتفاعل فيما بينهما.

ساهم التطور المذهل الذي طرأ على تقنيات الاستشعار عن بعد ونظم المعلومات الجغرافية في توفير البيانات الرقمية التي تساعد في حل الكثير من المشكلات المتعلقة بالجيومورفولوجيا البيئية، و تعمل هذه التقنيات على تسريع عملية التحليل الجيومورفولوجي وبناء النماذج الهيدروجيومورفولوجية التي تساعد في حل الكثير من المشاكل البيئية خاصة المتعلقة بفيضانات الأودية الداخلية على المناطق السكنية والعمرانية والتي تجري داخل المحميات والمنتزهات الوطنية الكبرى التي يرتادها السواح والزوار بأعداد كبيرة. (فرحان الععدي، محمد بوريه، ٢٠٢١، ص ١٤٢)

ولقد طُورت العديد من الحلول والنماذج لتقدير تعرية التربة ونواتج الإربابات (انظر : Qing-fen et al., 2008; Vente and Poesen, 2005) ومن أبرز هذه الحلول ما يسمى بنموذج جافريلوفيك (Gavrilovic Model) للتعرية، والذي أطلق عليه جافريلوفيك نفسه مسمى (Erosion Potential Method) EPM . ويبرز نموذج جافريلوفيك كأحد نماذج التعرية السطحية المناسبة للمناطق المتضرسة والأحواض كبيرة المساحة (Globevnik et al., 2003) فهو من النماذج النادرة التي صُممَت خصيصاً للأحواض الجبلية، وهو بهذا يتلافى أوجه القصور في بعض النماذج الدائمة الاستخدام، مثل معادلة Revised Universal Soil Loss Equation (RUSLE) التي تُستخدم عادةً لتقدير تعرية التربة في المناطق الزراعية ذات الانحدارات التي لا تزيد عن ١٥ درجة، ولأحواض صغيرة المساحة (Liu et al., 2000) . مما يميّز نموذج جافريلوفيك أنه يعمل على أحواض قد تصل مساحتها إلى  $7000 \text{ km}^2$ ، وفي مناطق شديدة التضرس والانحدار، ذات غطاءات واستعمالات أرضية متنوعة (land use- cover). وما يميّزه أيضاً أنه يقدر أنواعاً عديدة من التعرية المائية مثل: التعرية السطحية (sheet erosion)، والخانقية (rill erosion)، والخدقية (gully erosion)، والتعرية الغطائية (bank erosion)، بالإضافة إلى تقديره للانزلالات الأرضية كإحدى نواتج التعرية السطحية (Emmanouloudis et al., 2003) (سعد أبو راس الغامدي، ٢٠٠٩، ص ١١).

### ✓ موقع منطقة الدراسة

شكل محمية وادي دجلة جزء من الهضبة الشمالية لصخور الحجر البحيري لعصر الايوسين الذي ترسب في البيئة البحرية بالصحراء الشرقية، وهي تقع في شرق حي المعادي بالصحراء الشرقية بمحافظة القاهرة على شكل شبه مستطيل، وتمتد من الغرب إلى الشرق بطول ١٥ كم، وعرض ٤ كم تقريباً، بمساحة تقدر بـ ٦٠ كم<sup>٢</sup>، وتبعد عن نهر النيل حوالي ٤,٣ كم، وتمتد فلكياً بين خطى طول ٢٧°٣٠ و ٢٩°٣١ شرقاً، وبين دائرتى عرض ٥٤°٥٨ و ٥٩°٢٩ شمالاً شكل (١) (ماجد شعلة، وآخرون، ٢٠٢٤، ص ٨٩).

ويتجة وادي دجلة بصفة عامة من الشرق إلى الغرب ليصب في نهر النيل، وتبلغ مساحة حوضه نحو ٢٦٩,٥٢ كم<sup>٢</sup> ويرفد وادي دجلة أحد عشر رافداً رئيسياً هي أودية التيه، والجمارة، والشماح، وام اسعد، وطيب العمران، والبحيرات، وتلات النجا، وتلات حمرة، وتلات العز، وتلات ستينة وقطاريف (سمير سامي محمود، ٢٠٠٤، ص ٤٧).

وقد أصدر رئيس مجلس الوزراء قرار برقم ٤٧ لسنة ١٩٩٩ بشأن اعلان وقد أصدر رئيس مجلس الوزراء قرار برقم ٤٧ لسنة ١٩٩٩ بشأن اعلان وادي دجلة الواقع شرق مدينة المعادي بمحافظة القاهرة محمية طبيعية.

وينبع وادي دجلة من جبل بهموم الاسمر على ارتفاع ٤٧٩ مترًا ويصب باتجاه وادي النيل بزهاء المعادي. وتبلغ مساحة حوضه نحو ٤٢١,٤ كم<sup>٢</sup> بطول ٣٣,٨ كم<sup>٢</sup> ونسبة الاستطاله ٥٠,٠٪ (اميره البناء، ٢٠١٠، ص ٨٧).

### ✓ اهداف الدراسة

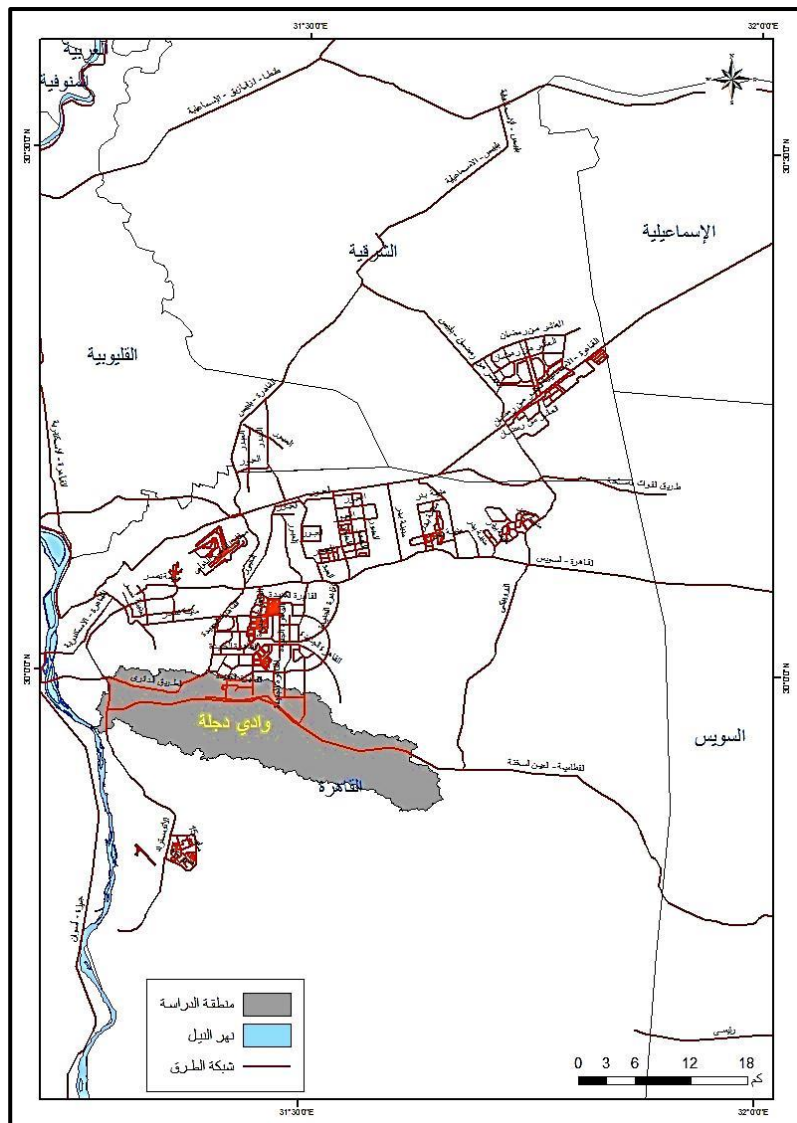
- ١- دراسة اهم المتغيرات المكانية المؤثرة في التعرية المائية للترابة بحوض وادي دجلة.
- ٢- تطبيق اهم النماذج العالمية في دراسة التعرية المائية وهو نموذج جافريلوفيك.
- ٣- التقدير الكمي للتعرية المائية باستخدام نموذج EPM
- ٤- ابراز دور تقنيات الاستشعار عن بعد ونظم المعلومات الجغرافية في دراسة التبيؤ بكميات التربة المنجرفة.

### ✓ أهمية الدراسة

- ١- تعتبر اول دراسة علمية في منطقة الدراسة لتقدير كمية التعرية المائية للترابة بتطبيق نموذج EPM بواسطة استخدام تقنيات (Gis&Rs)
- ٢- أهمية وادي دجلة حيث يضم محمية وادي دجلة أحد كنوز مصر الطبيعية، اذ تمثل البوابة الشمالية للصحراء الشرقية بمصر، كما أنها ذات قيمة تعليمية.
- ٣- اقتراح حلول مناسبة لحماية التربة

### ✓ منهج الدراسة

- اعتمدت هذه الدراسة على توظيف تقنيتي الاستشعار عن بعد ونظم المعلومات الجغرافية في تقدير تعرية التربة في حوض وادي دجلة بتطبيق نموذج جافريوفيكي للتعرية.
- تمثل دور تقنية الاستشعار عن بعد في تصنیف غطاءات الأرض وتصنیف التربة، وتحديد حالة تطور التعرية في الحوض.
- استخدام نظم المعلومات الجغرافية في تصنیف فئات الارتفاع والانحدار واستخلاص شبکه التصريف وتحديد الاھواض الفرعية واعداد طبقات التركيب الصخري والتربة، وانشاء خطوط التساوي للحرارة والتسلط، ومن ثم تطبيق معادلة جافريوفيكي على عدة مراحل، وذلك من خلال عمليات التحليل المکاني Spatial analysis .Arc Gis في برنامج



المصدر: من اعداد الباحثة اعتماداً على الخريطة الطبوغرافية مقياس ١:٥٠٠٠٠ باستخدام برنامج

Arc GIS10.8

**✓ نموذج Gavrilovic :**

يعد نموذج (EPM) \_ وهو اختصاراً لـ Erosion Potential Method \_ من بين انساب النماذج في تقييم التعرية في المناطق الواسعة، تم تصميم هذا النموذج من قبل (Gavrilovic) في خمسينيات القرن الماضي ثم قام بتطويره عام ١٩٥٤ م، وفي عام ١٩٨٥ شهد هذا النموذج قفزة نوعية في تطوره على يد مجموعة من الباحثين بعد الحصول على معلومات جديدة والتطور الذي حصل في نظم المعلومات الجغرافية، ويتميز هذا النموذج بكونه يقدر انواع مختلفة من التعرية مما جعله نموذج مناسب للتطبيق في بلدان مختلفة من أوروبا الشرقية وايطاليا واليونان خاصة بعد ما جرى اختبار دقته من خلال المقارنة ما بين الدراسات الميدانية ونتائج هذا النموذج والتي اظهرت تقارب كبير، ويعتمد هذا النموذج في تطبيقه على مجموعة من المتغيرات تشمل التركيب الصخري، خصائص الانحدار، الغطاء النباتي، الامطار ، درجات الحرارة ، وتعود منهجهية تطبيق هذا النموذج (Gavrilovic.Z-2006) إلى سلسلة من المعادلات التالية:

$$W = H \times T \times \pi \times \sqrt{Z^3}$$

(Gavrilovic.z.et al.2006)

حيث:

$W$  المعدل السنوي للتعرية ( $\text{م}^3/\text{كم}^2/\text{السنة}$ ).

$H$  المعدل السنوي للأمطار (لم)

$T$  معامل الحرارة والذي يُحسب من خلال المعادلة التالية:

$$T = \sqrt{\frac{C}{10} + 0,1}$$

حيث:

$C$  المعدل السنوي لدرجة الحرارة.

$Z$  معامل التعرية المحتملة.

ويُحسب معامل التعرية المحتملة  $Z$  عن طريق المعادلة التالية:

$$Z = Y \times Xa (\Phi + \sqrt{Ja})$$

حيث:

$Y$  معامل قابلية التربة للتعرية.

$Xa$  معامل حماية التربة.

$\Phi$  معامل تطور التعرية وشبكة التصريف.

$Ja$  انحدار السفح بالنسبة المئوية.

بالنسبة لقيم  $Y$  و  $Xa$  فإنها تُستخرج اعتماداً على جداول طورت بواسطة

جاڤريلوفيک سنة ١٩٥٤، ثم عُدلت فيما بعد من طرف جملة من الباحثين (Stefanovic, M. et al., 2004)& (Zorn, M. & Komac, B., 2005).

## مجلة كلية الآداب بالوادى الجديد- مجلة علمية محكمة- ديسمبر ٢٠٢٤

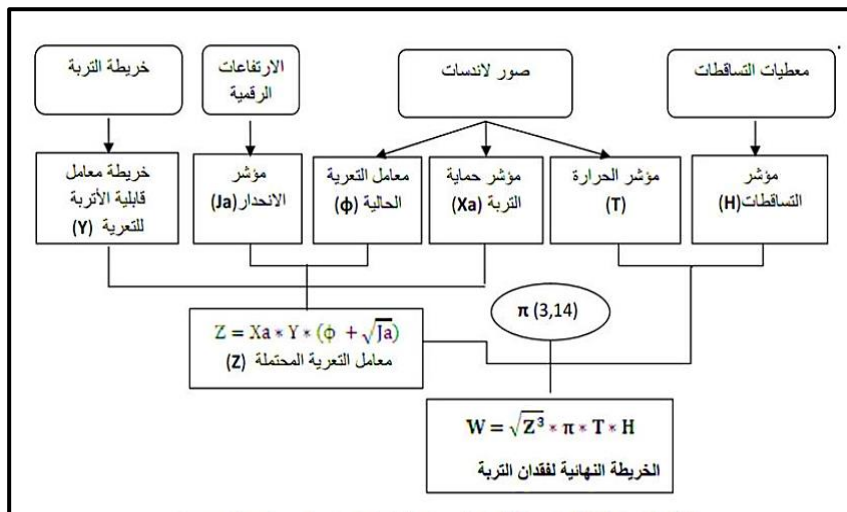
يعتمد نموذج جافريوفيكي على عدد كبير من البيانات تتعلق بطبيعة التربة، والانحدار، والغطاء النباتي، والتساقطات، والحرارة، بالإضافة إلى معلومات ميدانية. وقد اعتمدت هذه الدراسة على توظيف تقنيات الاستشعار عن بعد في إنجاز خريطة استعمالات الأرضي، وفي قياس معامل التغطية النباتية، وتحديد حالة تطور التعرية في الحوض. ولتقدير كمية التعرية، تم إدماج معادلة Gavrilovic داخل نظم المعلومات الجغرافية على شكل خرائط لمختلف مؤشرات المعادلة، وإنجاز مجموعة من وظائف التحليل المكاني. وقد أتاح دمج عناصر هذه المعادلة في نظام المعلومات الجغرافي (GIS) بطريقة سريعة وفعالة بإبراز العلاقات بين العوامل المتحكمة في فقدان التربة بفعل التعرية.

تم الاعتماد على أربع مصادر أساسية لإعداد مؤشرات النموذج حسب هي كما يلي:

- ١ خريطة التربة لحساب معامل (Y)
- ٢ بيانات التساقطات لحساب معامل (1)
- ٣ الارتفاعات الرقمية للأرض (DEM) لحساب معامل (Ja)
- ٤ صور القمر الصناعي لاندست (Landsat) لحساب معاملات (T) و (X) و (Φ)

### ✓ أساليب الدراسة:

يتطلب الإعداد لتطبيق نموذج جافريوفيكي عدداً كبيراً من البيانات تتعلق بطبيعة الصخور والتركيب الجيولوجي والانحدار والتربة والتساقط، والحرارة ، وغضائطات الأرض، بالإضافة إلى معلومات حقلية من خلال زيارات ميدانية تغطي كامل الحوض ، حيث تم من خلالها التعرف على مستويات التعرية في الحوض. وقد ارتكزت هذه الدراسة كلياً على المعالجة الآلية لبيانات الأقمار الصناعية، وعلى توظيف نظم المعلومات الجغرافية في تجهيز بيانات الدراسة كمدخلات لنموذج جافريلو فيك ، ومن ثم حساب مخرجاته آلياً عن طريق برنامج ARC GIS جدول ( ١ ) وشكل ( ٢ ).



شكل ( ٢ ) مخطط لسلسل مراحل تطبيق نموذج جافريوفيكي

## **جدول ( ١ ) متطلبات حساب معدل التعرية المائية بتطبيق نموذج جافريلو فيك**

المتغير	الرمز	وحدة قياس	المتطلب	الرمز	وحدة القياس	المصدر
إجمالي التعرية	$W_{ap}$	(م³ / كم³)	المعامل الحراري	T	درجة الحرارة	بيانات درجة الحرارة
النوعية			الحراري		سنها	النوعية
السنوية						المؤية (C)
السنوي				H	المتوسط	بيانات الامطار
للامطار					السنوي	
عدد ثابت	$\pi$		عدد ثابت			---
معامل التعرية	$\hat{Z}$		معامل حماية التربه	X <sub>ai</sub>	معامل حماية التربه	معادلة النموذج
معامل التعرية	$\hat{Z}$		معامل قابلية التعرية للتربيه	Y	معامل حماية التربه	قيمه معياريه جدولية
معامل التعرية	$\hat{Z}$		معامل تطور اشكال التعرية	$\Phi$	معامل تطور اشكال التعرية	قيمه معياريه جدولية
متوسط الانحدار (%)	Ja	نسبة مؤوية معادلة النماذج				
معدل حجم السنوى	$W_g$	(م³ / سنة)	اجمالي التعرية	$W_{sp}$	(م³) / كم³ (سنها)	مخرجات DEM

المصدر: بتصرف عن (Stefanidis and Kalinderis, 2008; Zorn and Komac 2008)

✓ جدول (٢) الأدوات والبرامج المستخدمة في الدراسة:

البيانات	تاريخ الإصدار	الجهة	الإجراءات المتبعة في استخراج المعلومات
صور القرى الصناعي (Landast-)	2022	USGS	استخراج خرائط استخدام الأرض، وكذلك الجيولوجية الأمريكية
(8)			استخراج خرائط رقمية لمؤشرات الغطاء النباتي NDVI وعمل المجسم الأرض
نموذج الارتفاعات الرقمي DEM	2022	هيئة المساحة الجيولوجية الأمريكية	معرفة طبوغرافية منطقة الدراسة وبناء المجسم الأرضي واستخراج خريطة الانحدارات والارتفاعات
بيانات الأمطار	2022	NASA	استخراج معدلات الامطار السنوية والشهرية واليومية، واستخراج اقصى كمية امطار يومية
الخرائط الطبوغرافية	2009		بمقاييس رسم 1: 250000 لتحديد منطقة الدراسة الصادرة
الخرائط الجيولوجية			خرائط تربة بمقاييس رسم 1: 250000 الصادرة منطقة الدراسة، واستخراج مساحة كل صنف
ArcGIS 10.8	2022	Esri	لادخال وخزن وبناء قواعد البيانات واجراء التحليل المكاني
Erdas Imagine 10.14	2020	Intergragh	لإجراء تحليل ومعالجة الصور الفضائية

✓ عناصر الدراسة

أولاً: الخصائص الطبيعية والبشرية

١- الخصائص الطبيعية

٢- الخصائص البشرية

ثانياً: التقييم النوعي للتعرية المائية باستخدام نموذج EPM

١- معامل قابلية التربة والتكتونيات السطحية للتعرية Y

٢- معامل حماية التربة من التعرية Xa

٣- مؤشر تطوير التعرية  $\Phi$  من خلال المرئيات الفضائية

٤- مؤشر الانحدار Ja

٥- التعرية المحتملة من خلال معامل Z

ثالثاً: التقدير الكمي للتعرية المائية باستخدام نموذج EPM

١- مؤشر التساقط (H)

٢- مؤشر الحرارة (T)

أولاً: **الخصائص الطبيعية**

١- **الخصائص الطبيعية**

١/١ - جيولوجية المنطقة

التكوينات السطحية لمنطقة الدراسة يعد وادي دجلة أحد الاشكال المورفولوجية البارزة في الصحراء الشرقية الناتجة عن نحت المياه التي شهدتها الصحاري المصرية في أواخر عصر الميوسين، بعد حركة الرفع التي اصابت الجزء الشرقي من مصر، وكانت مرتفعات الصحراء الشرقية، قاطعاً الهضبة الجيرية الشمالية (هضبة المعازة) في اتجاه بسيط من الشرق الى الغرب (جمال حمدان، ١٩٨٠، ص ٥١٧).

تتألف التكوينات السطحية بالمنطقة من صخور رسوبية مفككة، يتراوح عمرها بين الايوسين الأوسط والهولوسين.

تعكس الخريطة الجيولوجية شكل (٣) التكوينات السطحية لمنطقة الدراسة على النحو

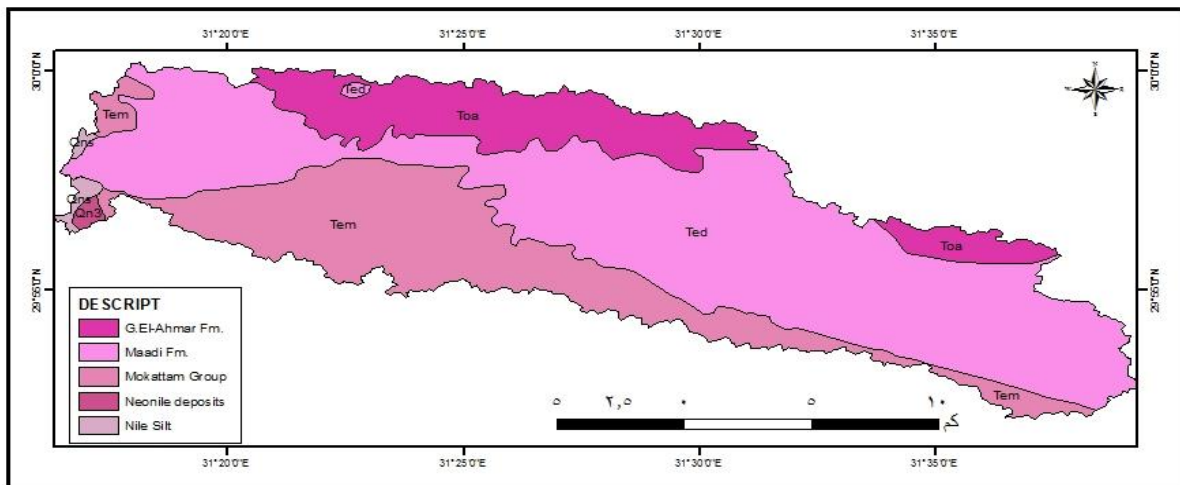
التالي:

أ- تكوينات الزمن الثالث Tertiary Formations تتكون من صخور الأيوسين الأوسط والأعلى ورواسب الاليجوسين، وفي حين كانت صخور الأيوسين الأوسط والأعلى ذات ترسيب بحري وت تكون من الحجر الجيري الطباشيري والمارل وبعض الحفريات، كانت رواسب الاليجوسين ذات ترسيب قاري مكونة من الحصى والرمال والاخشاب المتحجرة، وفيما يلي عرض لتلك التكوينات:

أ/١- تكوينات الأيوسين الأوسط:

## مجلة كلية الآداب بالوادى الجديد- مجلة علمية محكمة- ديسمبر ٢٠٢٤

تمثل أقدم التكوينات التي تظهر على السطح، وتعرف باسم تكوينات المقطم السفلي، حيث تتألف من تكوينين: الأسفل يسمى تكوين جبل حوف، والأعلى يسمى تكوين مرصد. وهي عبار عن كتل من الحجر الجيري الأبيض ناصع البياض تتتألف منها هضبة طرها ذات الحافات شديدة الانحدار (سمير سامي، ١٩٨٩، ص ٣).



المصدر: من اعداد الباحثة اعتمد على الخريطة الجيولوجية باستخدام برنامج Arc GIS10.8

شكل (٣) التكوينات السطحية لوادي دجلة

### أ/٢- تكوينات الايوسين الأعلى:

تعلو تكوينات الايوسين الأوسط، ويطلق عليها تكوينات المقطم العليا، تتكون من صخور الحجر الجيري المختلط بالرمال وبعض طبقات المارل والحجر الطيني، وتحتوي على بعض الحفريات مثل رقائق الكالوريا ، ويميل لونها من الأصفر الى البنى، ويتراوح عمرها ما بين ٣٣-٣٧ مليون سنة (سمير سامي، ٢٠٠٣، ص ٢٥).

تتكون صخور الايوسين الأعلى من أربعه تكوينات هي من الأقدم إلى الأحدث:

- **تكوين القرن:** يعلو تكوين المرصد ويبلغ سمكه حوالي ٣٠ متراً، ويكون جزئه الأدنى من الحجر الجيري الأبيض النيموليتي، بينما تتكون طبقاته الوسطى من مارل هش أصفر، أما طبقاته العليا فت تكون من حجر جيري غنى بالحفريات. تتتألف منه الحافة الشمالية لجبل أبو شامة والاراضي المرتفعة الواقعة على جانبي المجرى الأوسط لوادي دجلة. (Abdallah, P. 6)
- **تكوين وادي جراوى:** يعلو تكوين القرن، ويبلغ سمكه حوالي ٤٤ متراً، يتكون من طبقات المارل الأخضر والحجر الجيري الأبيض الدولوميتي والحجر الرملي مع وجود

## مجلة كلية الآداب بالوادى الجديـد - مجلـة علمـية محـكمة - العدد العـشـرون (الجزء الثـانـي،)

بعض أنواع من الحفريات. تتألف منه قمم بعض التلال المرتفعة مثل مجموعه التلال الواقعة إلى الشمال من المجرى الأوسط لوادي دجله، كما يكون المنطقة المرتفعة الواقعة بين وادي الشماح ووادي دجلة الرئيسي، كذلك يظهر في المنطقة الواقعة شمال شرق دلتا وادي دجلة.

▪ **تكوين وادي حوف:** يعلو تكوين وادي جراوى، ويبلغ سمكه ما بين ٤٨ متراً و١٣ متراً بالقرب من مصب وادي دجلة، يتكون من المارل الأصفر والحجر الطيني والحجر الجيري النيموليتي الأصفر الصلب مع وجود نوع من الحفريات على شكل رقائق تعرف بالكالوريا وهي تشبه إلى حد كبير الأصداف البحرية الحالية. تجرى فوق هذا التكوين الروافد العليا لوادي دجلة ورافده الرئيسي وادي التيه في الشمال.

▪ **تكوين العنقابية:** ويعُد أحدث تكوينات الأيوسين الأعلى، ويبلغ سمكه حوالي ٤٦ متراً، ويتكون من طبقات من الحجر الجيري الأصفر والحجر الجيري المارلي والمارل والحجر الطيني والحجر الرملي الحديدي، كما يحتوي على بعض أنواع من الحفريات، تظهر صخور هذا التكوين في المنطقة الواقعة بين وادي التيه ورافده وادي أبو عويقلة شمال غرب المنطقة، حيث يظهر في مجموعه من التلال التي لا يزيد ارتفاعها عن ١٨٠ متراً (Gobrial, p. 7).

**بـ- رواسب الزمن الرابع:**

تتألف من رواسب البليستوسين والهولوسين، حيث تتكون من الحصى والرمال وشظايا الحجر الجيري والرواسب الطميـة في بـطـون الأـوـديـة وـدـالـاتـهـا، وتـكـونـ هـذـهـ روـاسـبـ بعضـ الـظـاهـرـاتـ الجـيـمـوـرـفـوـلـوـجـيـةـ منهاـ روـاسـبـ الفـيـضـيـهـ وـتـشـمـلـ روـاسـبـ المـدـرـجـاتـ النـهـرـيـةـ بوـاـديـ دـجـلـهـ خـاصـهـ بـالـقـرـبـ مـنـ مـصـبـهـ، وـرـوـاسـبـ قـيـعـانـ الأـوـديـةـ وـرـوـاسـبـ المـرـوـحةـ الفـيـضـيـهـ لـوـاـديـ دـجـلـهـ وـتـكـونـ بـصـفـهـ عـامـةـ مـنـ الحـصـىـ وـرـمـالـ وـالـطـمـيـهـ كـمـاـ تـشـتـمـلـ ذـكـلـ عـلـىـ روـاسـبـ الـبـيـدـمـنـتـ التيـ تـغـطـيـ مـعـظـمـ أـقـدـامـ الـمـرـتـفـعـاتـ بـالـمـنـطـقـةـ عـلـىـ هـيـئـهـ طـبـقـةـ رـقـيقـةـ مـنـ روـاسـبـ مـعـظـمـهـاـ مـنـقـولـ مـنـ وـاجـهـاتـ السـفـوحـ وـغـالـبـاـ تـكـونـ مـنـ الحـصـىـ وـرـمـالـ وـشـظـاـيـاـ الحـجـرـ الجـيـرـيـ وـهـىـ مـنـشـرـةـ بـالـمـنـطـقـةـ (ـهـنـاءـ نـظـيرـ، ٢٠٠٥ـ، صـ ٢٦٩ـ).

**٢/١ - الخصائص المناخية:**

تعد دراسة الخصائص المناخية من العوامل الرئيسية في فهم كيفية تكوين التربة وكيفية تغييرها عبر الزمن، حيث يساهم سقوط الأمطار بغزاره في زيادة قدرة الماء على فصل جزيئات التربة ونقلها، كما ان تعرض الأرضي الجردا للعواصف والرياح بشكل مستمر سيزيد ذلك من قابليتها للتعرية المائية، كما يتسبب ارتفاع درجة الحرارة في سرعة التحلل الكيميائي للتربة.

(الساعاتي، ١٩٩١)

ليس لوادي دجلة بيانات مناخية خاصة يتميز بها، حيث لا توجد محطة للأرصاد الجوية بالمنطقة، وبناء على أن وادي دجلة جزء لا يتجزأ من القاهرة الكبرى، لذا فأنا سوف نعرض لأهم الخصائص المناخية لإقليم القاهرة ومحدداتها الطبيعية وما تتعرض له من:

### أ- الحرارة

يؤدى ارتفاع درجات الحرارة إلى انخفاض اللزوجة الماء (Viscosity)، وبالتالي رفع معدلات تسربها (غزوان محمد أمين، ٢٠٠٤، ص ٥٦) كما أن ارتفاع درجات الحرارة يؤدى إلى جفاف التربة وتفككها مما يساعد على سهولة عملية التذرية بفعل الرياح، ويتبادر شكل استجابة الصخور للتأثير الميكانيكي للتغيرات الحرارية تبعاً لمدى تجانس التكوينات الصخرية ودرجة تماسكها؛ إذ ترتفع درجة حرارة سطوحها الخارجية عند ارتفاع درجة حرارة الجو في حين تبقى حرارة الأجزاء الداخلية منخفضة؛ فيترتب على ذلك تمدد وانكماس متبادل ضمن الأسطح الخارجية للصخور أكثر من الداخل وتعرف بتتجوية العزل (خلف حسين على ، ٢٠٠٥، ص ١١٧)، وتظهر في الانفراط أو التفكك الحبيبي Granular disintegration .Shattering ، والتقشر Block separation ، والتشظي Exfoliation

### أ- متوسطات درجات الحرارة الصغرى والعظمى والمدى الحراري

يتضح من تحليل الجدول (٣) والشكل (٤) ما يلى:

يبلغ المتوسط السنوي لدرجة الحرارة بإقليم القاهرة الكبرى ٢١,٨% مئوية، وسجل أقل متوسط سوى الدرجة الحرارة في محطة بهتيم، أما أعلى متوسط فسجل في محطات حلوان ومطار القاهرة، والعباسية.

**جدول (٣) متوسطات درجات الحرارة بإقليم القاهرة الكبرى.**

المدى	الحرارة	متوسط درجة الحرارة العظمى	متوسط درجة الحرارة الصغرى	متوسط درجة الحرارة	المحطة
١٠.٢	١٤.٩	٢٥.١	٢٢	**	الجيزة
١٠.٨	١٥.٤	٢٦.٢	٢٢.٥	*	حلوان
١١.٧	١٦.١	٢٧.٨	٢١.٨		مطار
				***	القاهرة
٨.٥	١٩.٥	٢٨.٠	٢١.٩	**	الماظاه
١٤.٩	١٢.٦	٢٧.٥	٢٠	*	بهتيم
٨.٥	١٩.٩	٢٨.٤	٢٢.٥	*	العباسة
١٠.٨	١٦.٤	٢٧.٢	٢١.٨		المتوسط

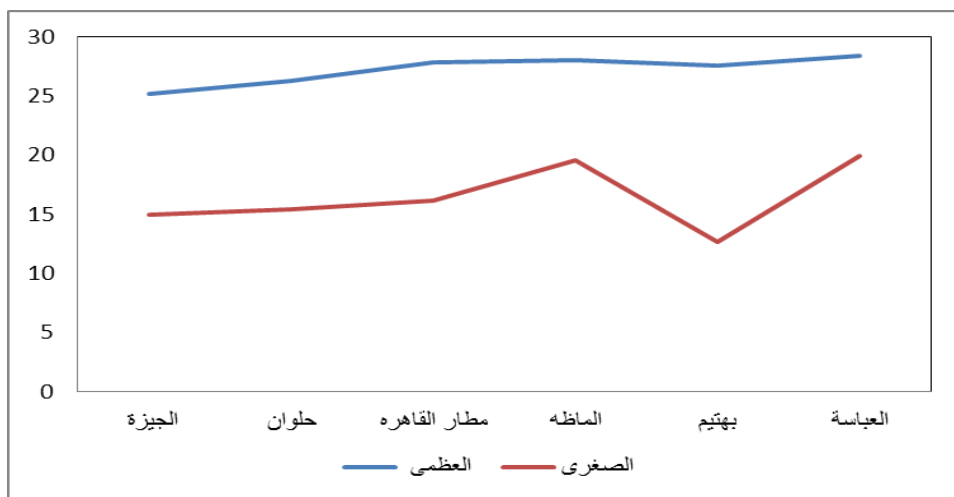
المصدر / \* الهيئة العامة للأرصاد الجوية بيانات غير منشورة، خلال الفترة الممتدة بين عامي ١٩٧٤ - ٢٠٠٣

\*\* علام السيد محمد ١٩٩٩، ص ص ١٠٩ و ٤١٤

\*\*\* عصام عطية حسن ٢٠٠٨، ص ١٣٦

يبلغ متوسط درجة الحرارة العظمى بإقليم القاهرة الكبرى ٢٧.٢ مئوية، وسجلت محطة الجيزه وحلوان أقل متوسط لدرجات الحرارة العظمى على طول السنة، حيث بلغت ٢٥.١ \* و ٢٦.٢ مئوية، أما محطة العباسية فقد بلغ متوسط درجات الحرارة العظمى بها ٢٨.٤ مئوية ومحطة مطار القاهرة ٢٧.٨ مئوية.

- تصل درجة الحرارة الصغرى أقصاها في محطة العباسية والماظه، بلغت ١٩.٩ و ١٩.٥ مئوية على التوالي، أما أدنى درجة حرارة صغرى فقد سجلت بمحطتي بهتيم، والجزيزه إذ تراوحت بين ١٤.٩ و ١٢.٦ مئوية، كما يبلغ متوسط درجة الحرارة الصغرى بإقليم القاهرة الكبرى ١٦.٤ مئوية.
- يتراوح المدى الحراري السنوي بين ١٤.٩ و ٨.٥ مئوية، وسجل أقل مدى حراري في محطة الماظه والعباسية، أما أعلى مدى حراري فسجل في محطة بهتيم.



المصدر: من عمل الباحثة اعتماد على الجدول (٣)

شكل (٣) متوسطات درجات الحرارة الصغرى، والعظمى، بالمحطات

### بـ- الرياح

تلعب الرياح دوراً هاماً في هيdroلوجية منطقة الدراسة، حيث تساعده في نقل وإرساب الرواسب الهوائية والمفتتات الصخرية، والتي بدورها تحتوي على المياه تحت السطحية، كذلك تساعد في تحديد مورفولوجية السطح مثل ظاهرات الإرساس كالكتبان الرملية، وسيتم دراسة الرياح على النحو التالي:

## بـ/ اتجاهات هبوب الرياح

يتضح من تحليل الجدول (٤) والشكل (٥) ما يلى:

تعد الرياح الشمالية الشرقية أكثر اتجاهات الرياح تأثيراً على منطقة الدراسة، إذ يبلغ المتوسط السنوي لهبوبها ٢٨,٩، وتتراوح نسب هبوبها في المحطات المناخية لمنطقة الدراسة بين ٢٠٠٧ و٤١,٢٤، حيث يبلغ معدلها السنوي في محطة العباسية ٤١,٢٤، ومحطة الماظه ٣١,٥، ثم محطة مطار القاهرة ٢٠,٧.

كذلك تعتبر الرياح الشمالية من أكثر اتجاهات الرياح المؤثرة على إقليم القاهرة الكبرى، حيث تترواح نسب هبوبها في المحطات المناخية لمنطقة الدراسة بين ١٢,٨% و٣٧,٢، فيبلغ معدلها السنوي في محطة الماظه ٣٧,٢ ومحطة مطار القاهرة ٢٥,٦، ثم محطة الجيزه ٢٢,٩ محطة حلوان ١٩,٨%， ومحطة بهتيم ١٧,٧٪، وأخيراً محطة العباسية ١٢,٨٪، وبذلك يصل المعدل السنوي لهبوب الرياح الشمالية بأقاليم القاهرة الكبرى ١٢,٧٪.

**جدول (٤) النسب المئوية لتكرارات اتجاهات هبوب الرياح في إقليم القاهرة الكبرى.**

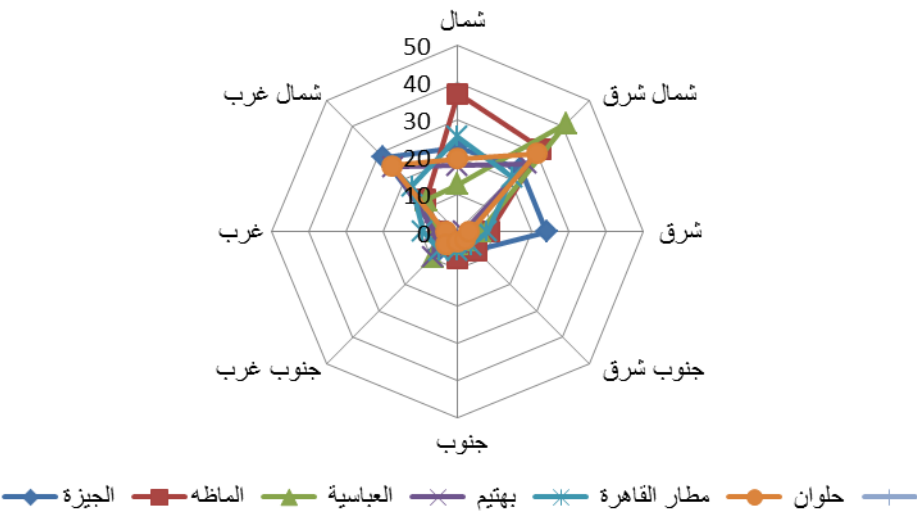
السكون	شمال	غرب	شمال	غرب	جنوب	جنوب	شرق	شمال	شمال	شمال	المحطة
											الجيزة**
٤.٠	٢٨.٤	٥.١	٧.٤٥	٦.٧	٦.٧	٢٣.٩	٢٣.٩	٢٢.٩			الجيزة**
٢.١	١٢.٢	٥.٢٠	٤.٤	٧.١٥	٧.١٥	٨.٣	٣١.٥	٣٧.٢			الماظه**
٢.٨	١٢.١	٥.٥	٩.٤	٣.٣	٣.٣	٦٠.٢	٤١.٢٤	١٢.٨			ال Abbasia **
٩.٢	٢٤.٨	٦.١	٩.٤	٢.٨	٢.٨	١.٥	٢٦.٠	١٧.٨			بهتيم**
٣.٥	١٧.٥	٩.٤	٦.٩	٥.١	٥.١	٧.٨	٢٠.٧	٢٥.٦			مطار القاهرة*
٦.٨	٢٥.١	٣.٣	٤.٦	٢.٧	٢.٧	٣.١	٢٩.٨	١٩.٨			حلوان*
٤.٧	٢٠	٥.٨	٧	٤.٦	٤.٦	٨.٤	٢٨.٩	٢٢.٧			المعدل السنوي

المصدر: \*الهيئة العامة للأرصاد الجوية، بيانات غير منشورة، خلال الفترة الممتدة بين عامي ١٩٦٨ - ٢٠٠٤.

\*\* علاء السيد محمد، ١٩٩٩، ص ص ٤٢٠٤١٦

▪ تأتي بعد ذلك الرياح الشمالية الغربية، إذ يبلغ المعدل السنوي لهبوب الرياح الشمالية بأقاليم القاهرة الكبرى ٢٠، حيث سجلت محطة الجيزه أعلى نسبة هبوب للرياح الشمالية الغربية ٢٨,٤٪، تليها محطة حلوان ٢٥,١، ومحطة بهتيم ٢٤,٨٪، ثم محطة مطار القاهرة ١٧,٥٪ وأخيراً محطتي الماظه والعباسية نسبة ١٢,٢٪، ١٢٪ على التوالي.

### شكل (٥) اتجاهات الرياح في المحطات المناخية بإقليم القاهرة الكبرى



### ب/٢- سرعة الرياح

تحتختلف الرياح في سرعتها واتجاهها من مكان لآخر ومن فصل الآخر ويرجع هذا إلى التباينات التي تطرأ على التوزيعات الضغطية الفصلية الدائمة التي تؤثر على البلاد من ناحية. بجانب التنوع في مظاهر السطح والاختلافات المحلية في التضاريس التي تقف عائقاً أمام الرياح فتغير من سرعتها واتجاهها طارق زكريا، ١٩٩٣، ص (١٣٤). ويتبين من تحليل جدول رقم (٥) ما يلي:

- تعد الرياح الشمالية الشرقية أكثر اتجاهات الرياح سرعة بإقليم القاهرة، حيث يبلغ معدل سرعتها السنوية ٢٢.٣ عقدة، وقد سجلت محطة عباسية أعلى معدل سرعة ٣٩ عقدة ثم محطة الماظه ٢٣.٤٨ عقدة، ومحطة حلوان ٢٠.٧ عقدة، ومحطة مطار القاهرة ١٨.٢٠ عقدة، ومحطة الجيزة ١٦.٧٥ عقدة، ومحطة بهتيم ١٥.٨٣ عقدة.
- تعتبر الرياح الشمالية من أكثر اتجاهات الرياح سرعة بمنطقة الدراسة، حيث تتراوح سرعتها في المحطات المناخية لمنطقة الدراسة بين ٢٤.٨٣ و ١٦.٩٣ عقدة، إذ يبلغ معدلها السنوي في محطة الجيزة ٢٤.٨٣ عقدة، محطة الماظه ١٩.٩٨ عقدة، محطة حلوان ١٩.٣٦ عقدة محطة مطار القاهرة ١٧.٦ عقدة، محطة بهتيم ١٧.١٥ عقدة، محطة العباسية ١٦.٩٣ عقدة، وبذلك يصل المعدل السنوي لسرعة الرياح الشمالية بإقليم القاهرة الكبرى ١٩.٣ عقدة.

تتمثل أقصى سرعة للرياح في الاتجاهات الشمالية (شمال ، شمال شرق ، شمال غرب) حيث يبلغ المعدل السنوي لها على الترتيب كما يلى ١٩.٣ ، ٢٢.٣٢ ، ١٤.٢٨

**مجلة كلية الآداب بالوادى الجديد - مجلة علمية محكمة - ديسمبر ٢٠٢٤**

**جدول (٥) اتجاه وسرعة الرياح (بالعقدة) بإقليم القاهرة الكبرى**

الاتجاه المحطة	شمال	شمال	شرق	شرق	جنوب	جنوب	غرب	غرب	الاتجاه	شمال	شمال	شرق	شرق	جنوب	جنوب	غرب	غرب
	شمال	الاتجاه	شمال														
	الشمال	الاتجاه	الشمال														
الجيزة	٢١.٠٢	٧.٣٩	٥.٠٦	٢.١٨	١.٩١	٤.٦٨	٢.٧٤	٠.٢١	٠.٥٦	٥.١٣	١٦.٧٥	٢٤.٨٣					
الماظه	١١.٢٩	٧.٨٥	٦.٠٥	٤.٤٩	٤.٤٨	٣.٩٩	١.٩٩	٢.٧٨	٣.٢٥	١٠.٤٣	٢٣.٤٨	١٩.٩٨					
العباسية	٥.٥١	٦.٩٦	٥.٣٧	٣.٥٨	٥.٤٨	٢.٩٤	٠.٩٣	٠.٧٩	٤.١١	٩.١٣	٣٩	١٦.٩٣					
بهتيم	١٣.٩٥	٨.٨٦	٥.٨٦	٣.٨١	٤.١١	١.٥٠	١.٨٨	٣.٢٥	٤.٤٤	٩.٥	١٥.٨٣	١٧.١٥					
مطار القاهرة	١٦.٢٨	٨.٣٥	٥.٨	٤.٥٠٨	٤.٤١	٢.٦٧	٠.٥٠٨	٠.٣٠٠	١.٤٣	٧.٢٦	١٨.٢٠٨	١٧.٦٠					
حلوان	١٧.٦٦	٧.٨٩	٣.٢٩	٢.٠٠	٢.٧٤	٢.٧٨	٢.٧	٢.٥١	٣.٣٧	٩.٢٥	٢٠.٧	١٩.٣٦					
المعدل السنوي	١٤.٢٨	٧.٨٨	٥.٢٣	٣.٤	٣.٨٥	٣.١	١.٨	١.٦٤	٢.٩	٨.٤٥	٢٢.٣٢	١٩.٣					

المصدر: \* الهيئة العامة للأرصاد الجوية بيانات غير منشورة خلال الفترة الممتدة بين عامي ١٩٦٨ - ٢٠٠٤  
علام السيد محمد، ١٩٩٩، ص ٤١٦ - ٤٢٠

**د- المطر:** تعتبر الأمطار من أهم العوامل المؤدية إلى حدوث الجريان السطحي مع الأخذ في الاعتبار ضرورة أن يزيد التساقط على إجمالي الفاقد سواء بالتبخر أو التسرب (جاد محمد طه، ١٩٧٧ ، ص ٣-٧). كما للأمطار دور جيومورفولوجي واضح، حيث تساعد على نشاط عمليات الإذابة والتحلل الكيميائي في حالة إذا كانت سرعة التساقط بطيئة، الأمر الذي يتتيح وقتاً أكثر للتفاعل بين الماء على حل غاز ثاني أكسيد الكربون من الهواء، وبالتالي تحول ماء المطر إلى حمض الكربوني المخفف الذي يعمل على إذابة صخور الحجر الجيري والدولوميت (غزوان محمد أمين ، ٢٠٠٤ ، ص ٧٢) . و يتضح من تحليل الجدول (٦) ، والشكل (٥) ما يلي :

- بلغ متوسط كمية المطر الساقط على الساحل الشمال ١٤٣,٧ مم سنوياً (عبد العزيز عبد اللطيف ، ١٩٨٨ ص ١٧٠) مقابل ٧,١ مم على إقليم القاهرة الكبرى، فمنطقة الدراسة تقع ضمن الأقليم الصحراوى شديد الجفاف على الرغم من سقوط بعض الأمطار الفجائحة وهي أحد مميزات المطر في الأقليم الصحراوى.

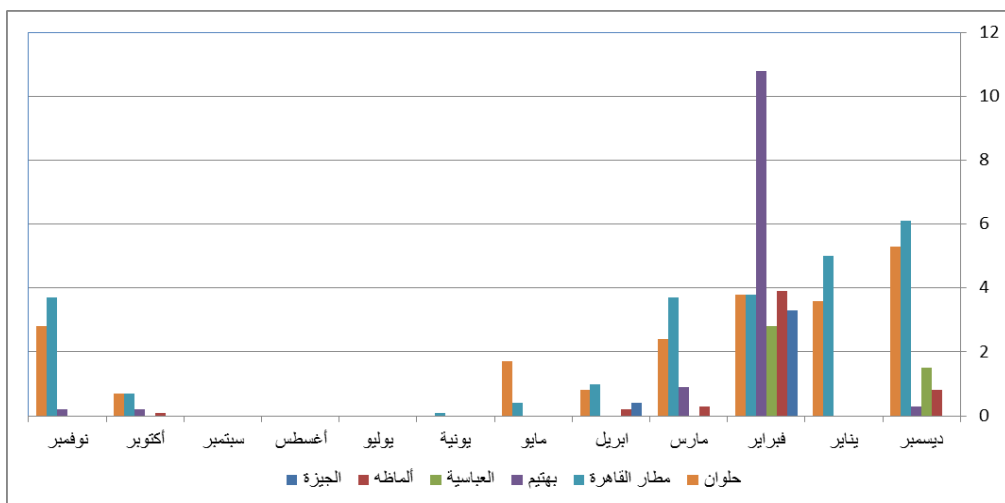
- سجلت محطة حلوان أعلى متوسط سنوى لسقوط الأمطار بإقليم القاهرة الكبرى إذ بلغ ٢,٦ مم، وتسقط الأمطار عليها بين شهري أكتوبر وديسمبر، حيث تراوحت بين ٠.٧ و ٥٠.٣ مم ، مع ملاحظة أن أعلى كمية تساقط سجلت في شهر ديسمبر .
- كذلك سجلت محطة مطار القاهرة أعلى متوسط فصلى لفصل الشتاء بلغ ٥ مم، ويتراوح سقوط الأمطار عليها بين شهري ديسمبر ويونية بين ٦٠.١ و ٠٠.١ مم وبلغ المعدل السنوى لسقوط الأمطار ٢٠.٢ مم.

جدول (٦) المتوسط الشهري للامطار الساقطة (مم) بإقليم القاهرة الكبرى

الشهر	الجيزة	الماظة	العباسية	بهايم	مطار القاهرة	حلوان
ديسمبر	صفر	٠,٨	١,٥	٠,٣	٦,١	٥,٣
يناير	صفر	٣,٩	٢,٨	صفر	٥	٣,٦
فبراير	٣,٣	٣,٩	١٠,٨	صفر	٣,٨	٣,٨
مارس	صفر	٠,٣	٠,٩	صفر	٣,٧	٢,٤
ابريل	٠,٤	٠,٢	صفر	صفر	١,٠	٠,٨
مايو	صفر	صفر	صفر	صفر	٠,٤	١,٧
يونية	صفر	صفر	صفر	صفر	٠,١	صفر
يوليو	صفر	صفر	صفر	صفر	صفر	صفر
أغسطس	صفر	صفر	صفر	صفر	صفر	صفر
سبتمبر	صفر	صفر	صفر	صفر	صفر	صفر
أكتوبر	صفر	٠,١	٠,٢	صفر	٠,٧	٠,٧
نوفمبر	صفر	صفر	صفر	صفر	٣,٧	٢,٨
المتوسط السنوي	١,٢	٠,٩	١,٩	٢,٠	٢,٥	٢,٥

المصدر : الهيئة العامة للارصاد الجوية ببيانات غير منشورة ، خلال الفترة الممتدة بين عامي ١٩٦٨ - ٢٠٠٤ (علاء

السيد محمد ١٩٩٩ ، ص ٤١٦ - ٤٢٠ )



(٦)المصدر: من اعداد الباحثة اعتمادا على بيانات الجدول (٦)

شكل (٥) المتوسط الشهري للامطار الساقطة (مم) بإقليم القاهرة الكبرى

مجلة كلية الآداب بالوادى الجديد- مجلة علمية محكمة- ديسمبر ٢٠٢٤

- تترواح كمية الأمطار الساقطة على محطة بهتيم بين ١٠٠.٨ و ١٠٠.٢ مم لشهرى نوفمبر وفبراير وسجل فصل الشتاء أعلى متوسط فصلى بلغ ٣٧ مم .
- ينعدم سقوط الأمطار على محطة العباسية بين شهرى مارس ونوفمبر ، ويقتصر سقوط الأمطار فقط على شهور فصل الشتاء، حيث يبلغ ٢٠.٨ بشهير فبراير ، ١٥ بشهير ديسمبر ، ويبلغ المعدل السنوى لسقوط الأمطار بمحطة العباسية ٤٠.٤ مم .
- تترواح كمية الأمطار الساقطة على محطة الماظة بين شهرى فبراير وأكتوبر بين ٣٩.٦ و ٠٠.١ مم وينعدم سقوط الأمطار بين شهرى مايو وسبتمبر ، ويبلغ المعدل السنوى لسقوط الأمطار على محطة الماظة ٦٠.٦ مم.
- ينعدم سقوط الأمطار على محطة الجيزه خلال شهور السنة ماعدا شهرى فبراير وإبريل ٣٣.١ مم على التوالى، ويبلغ المعدل السنوى لسقوط الأمطار على محطة الجيزه ٣٠.٣ مم.

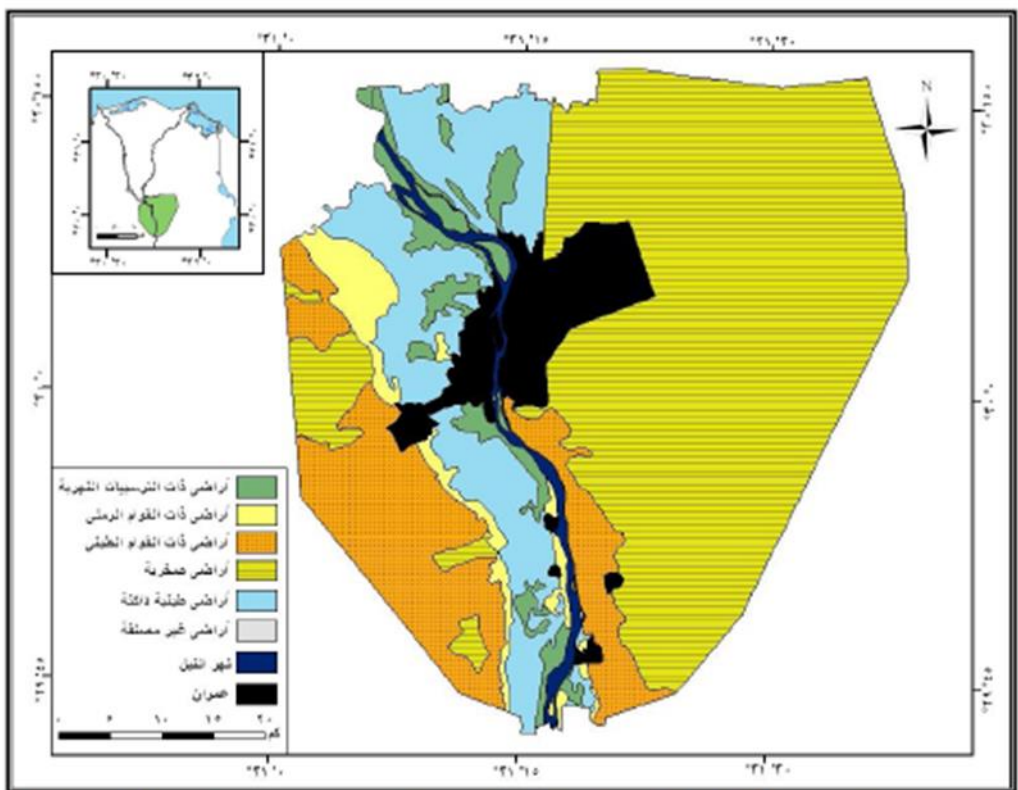
### ٣- الخصائص الحيوية

#### أ - التربة Soil

تعتبر التربة هي المحصلة النهائية لتفاعل العوامل الجيولوجية والطبوغرافية والمناخ بشكل أساسي بمنطقة الدراسة، وتوجد أنواع متعددة للتربة بالمنطقة ويرتبط كل نوع منها في الغالب بأسكار جيومورفولوجية، ويوضح ذلك من مقارنة خريطي التربة، والانحدار، واتجاه الانحدار فالسهل الفيضي يوجد به الأراضي الطميية والطينية الرملية وقطاع التربة العميق، كما تتتنوع التربة حسب تنوع الصخر والعمليات الجيومورفولوجية التي كونتها من تجوية ونحت للتربات المحلية وإرساب للتربات المنقوله ولهذا يمكن تقسيم التربة بمنطقه الدراسة اعتماداً على الجدول ( ) والشكل ( ) إلى الأنواع الآتية:

#### ١- الأرضي ذات الترسيبات النهرية Fluviaent

هي أراضي حديثة الشأة تكونت نتيجة الترسيبات المائية بالسهل الفيضي والدلتا، ونظرأً لحدوث الترسيبات من أسفل إلى أعلى فإن قطاع التربة يعتبر قطاعاً مقلوباً، كما أنها تميز بأن تربتها ذات قوام متوسط يقع بين القوام الطمي والرملوي الطمي أو الطمي الطيني الرملي كما تقل نسبة الطين فيها عن ٣٥٪ مع سهولة خدمتها وصرفها (محمد راغب الزناتي، أحمد محمد بدوى، ١٩٩٥، ص ٢٥)، وتبلغ مساحتها بإقليم القاهرة الكبرى ١٢٨,٤ كم<sup>٢</sup> بنسبة ٤,٥٪ من إجمالي مساحة منطقة الدراسة، وتغطى منطقة قليوب وشرق أوسيم، وعزبتي والى وحسن مذكور التابعة لحي المنيب، وعزبة عرب الوجود بمدينه أبو النمرس، ومنيل شيخة، وميت شناس، وطموه، والشيخ والمرازيق، كذلك تغطى شمال شرق مدینه الحوامدية، وغرب عزبة زهران وجابر وشرق نزلة الشوبك، وكفر طران وشوبك الشرقي، ومساكن التبين الشعبية.



المصدر: من عمل الطالبة ، اعتماداً على خرائط التربة لشمال الصعيد ، مقياس ١:١٠٠,٠٠٠ ، إصدار معهد الأرضي والتربة ، سنة ١٩٦٨ ، باستخدام برنامج Arc Gis 9.1

نقل عن /أميرة البناء، ٢٠١٠

**شكل (٧) التربة بإقليم القاهرة الكبرى**

**جدول (٧) التربة بإقليم القاهرة الكبرى**

النسبة (%)	المساحة (كم²)	التربة
٤.٥	١٢٨.٤	الترسيبات النهرية
٣.٨	١٠٨.١	قوام رملي
١٥.١	٤٢٨.١	قوام طيني
١٤.٥	٤١٢.٠	طينية داكنة
٥٢.٦	١٤٩١.١	أراضي صخرية
٢.١	٥٨.١	النيل
٧.٤	٢١١.٢	العمران
١٠٠	٢٨٣٧	الاجمالي

المصدر: أميرة البناء، ٢٠١٠

## ٢- الأراضي ذات القوام الرملي Psamments

رتبة الأرضي ذات القوام الرملي عبارة عن أراضٍ ذات قوام رملي طمي ناعم أو خشن، تقع أسفل طبقه الحرج بعمق يتراوح من ٢٥,٠ سم إلى ١٠٠ مترًا مالم توجد طبقه حجرية على عمق أقل، وتتميز هذه الأرضي بأنها أرض سريعة النفاذية ذات قدره ضعيفة على الاحتفاظ بالماء وهي عرضه لعوامل التعرية، وتغطى الأرضي ذات القوام الرملي مساحة تبلغ ١٠٨,١ كم٢ بنسبة ٣٠,٨٪ من إجمالي مساحه منطقة الدراسة، وتنشر بالجزء الجنوب الغربي من المنصورية ، وكفر حكيم ، أبورواش، كذلك تغطى الجزء الشمال الشرقي من صفتالبن جنوب نزلة السمان، والجزء الشمال الغربي من الحرانية، وكل من الشمال الغربي والجنوب الغربي من أبو صير، وشمال منطقة سقارة ، وغرب دهشور، وأبو رجوان البحري، وغرب كل من كفر العلو، وحلوان البلد ومنشأة ناصر ومعصره البلد.

## ٣- الأرضي ذات القوام الطيني أو اللومي Orthents

هي أراضي ذات قوام طمي أو طيني، وتوجد غالباً على الأسطح المعرضة للتعرية، ولا يوجد بها أي أفق بيدوجينية، وتكون هذه الأرضي في مدى واسع من المناخ والغطاء النباتي وتتميز بحدوث انخفاض منتظم في المادة العضوية مع العمق، والقطاع في هذه الأرضي عادة ما يكون غير عميق نتيجة التعرض للتعرية، وتغطى مساحة ٤٢٨,١ كم٢ من منطقة الدراسة بنسبة ١٥,١٪ من إجمالي مساحة إقليم القاهرة الكبرى، وتنشر بمنطقه تل الزلط والأجزاء المحيطة بمشروع مدينة حدائق الأهرام، كذلك تغطى مدینه حلوان القبلية، وحلوان البلد، وشمال غرب مدينة ١٥ مايو، وتغطى أيضاً مدينة المعادي ومعادى السريات الشرقية.

## ٤- رتبة أراضي الطينة الداكنة Vertisol

تتميز رتبة أراضي الطين المتعدد الداكن بارتفاع محتواها من الطين المتعدد إلى أكثر من ٣٠٪ وذلك حتى عمق ١,٠ مترًا مع كثرة وجود مواد من أصل الحجر الجيري أو الرخام أو الصخور النارية القاعدية مثل البازلت، وفي قدوم فترات الجفاف يحدث انكماس لهذا الطين المكون الرئيسي لتلك الأرضي، مما ينشأ عنه شقوق غائرة (إسماعيل حويفل، ١٩٩١ ص. ١٤٤) ، ولأن أراضي هذه الرتبة تعتبر من الأرضي الثقيلة التي تتتصق عند الابتلال وتنصلب عند الجفاف فإن حرج هذه الأرضي يكون عمليه صعبه، ويبلغ متوسط حرارة التربة أعلى من ٨° سيليزيه، وتعبر عنها بمنطقة الدراسة تحت رتبه Torrets، وهي أراضي المناخ الجاف التي تتميز بوجود الشقوق بها طوال السنة لعراضها لفترات ابتلل قصيرة، وتنشر تلك الأرضي بمساحه ٤١٢,٠ كم٢ بنسبة ١٤,٥٪ من إجمالي مساحة منطقة الدراسة، وتتميز تلك الأرضي بما يلي:

- حدوث شقوق عميقه قد تصل إلى حوالي ١,٥ متراً عند الجفاف، وتظل هذه الشقوق مفتوحة معظم شهور السنة ما دامت عملية الرى لم تحدث.
- وجود ظاهرة السطوح المنزلقة Slicken Sides نتيجة عمليات التمدد والانكماس عند ترك هذه الاراضي بورا تسود ظاهرة Gilgai وهي عبارة عن تمواج السطح عند جفاف الأرض (محمد راغب الزناتي، أحمد محمد بدوي، ١٩٩٥، ص ٢٤)، وكلها صفات موجودة بمعظم أراضي السهل الفيضي بمنطقة الدراسة كما هو الحال بمعظم أراضي منطقة إمبابة وغرب مركز أوصيم، والوراق، وغرب الحوامدية، ومعظم أراضي البدرشين وقليوب، وشبرا الخيمة.

#### ٥- الأرضي الصخرية Rocky land

يعبر عن الأرضي الصخرية المساحات الشاسعة المغطاة بطبقة متاثرة من الحصى والزلط والأحجار على السطح، حيث إن تأثير تبادل عمليات التجفيف والترطيب يؤدي لتجمع هذه الطبقة السطحية من الحصى والأحجار، مما يؤدي إلى رفعها بفعل تمدد الهواء المحبوس تحتها عند ابتلال التربة (السيد أحمد الخطيب، ١٩٩٨ ، ص ١١١)، وتبلغ مساحتها ١٤٩١.١ كم بنسبة ٥٢,٦ % من إجمالي مساحة منطقة الدراسة، وبذلك فإنها تنتشر بالمناطق الجبلية والتلال الموجودة بإقليم القاهرة الكبرى لتشمل جبل أبو رواش، والمدوره وجبل الحقاف، وكذلك جبل الخشب، وجبل حوف، وجبل سليمان، وجبل العرفة، وجبل طرة، وتل السكينة، وتل بسطة الظهير . (أميرة البناء، ٢٠١٠)

#### ب- النبات الطبيعي:

يتميز الوادي بغطاء نباتي كثيف، خاصة في فصلي الشتاء والربيع حيث يستمر التدفق المائي لمدة قد تصل إلى ثلاثة أيام، ويتسرب جزء منها عبر التربة المفككة مكونا مياهاً باطنية يستمد النبات منها احتياجاته الحياتية.

وتتمو هذه النباتات على جانبي الوادي، ويخلو الجزء الأوسط من المجرى من الغطاء النباتي بسبب تأثير السيول الجارفة حيث تدمر النباتات وتقتلعها من جذورها، وتقوم بجرف التربة في هذا الجزء وقد ذكر كل من (القصاص وشريف) تصنيف نباتيا للغطاء النباتي في وادي دجلة يتالف من نباتات سريعة الهلاك، نباتات دائمة، وأخرى تنشط وقت الربيع يعتمد عمرها على طول فصل المطر. ثم اعد (القصاص) قوائم لكل الأنواع النباتية وقسمها الى خمس درجات: M. Kassas and W.A.Girgis, pp. 716-719, نادرة وعرضية وشائعة وكثيرة وسائلة.

M.Kassas and M. Imam, P. 425

وقد تم حديثنا تسجيل أكثر من خمسة وسبعين نوعاً من النباتات بوادي دجلة، منها الأكسيما والأكرودنيس التمركس والظرفة والحلفا والنباتات الشوكية، فضلاً عن نبات العوسج والقطف والأثل ونبات السلة والرطريط والقزاح ونبات لباخ الجبل النبات الخشبي المتسلق كما توجد نباتات طيبة منها شاي الجبل والقيصوم وشيح البابونج واللصف Capparis متسلق الحواف

مجلة كلية الآداب بالوادى الجديد - مجلة علمية محكمة - ديسمبر ٢٠٢٤

الذي يستخدم في علاج أمراض الروماتزم وألام المفاصل (جهاز شؤن البيئة، محمية وادي دجلة) (هنا نظير، ٢٠٠٥، ص ٢٨٥).

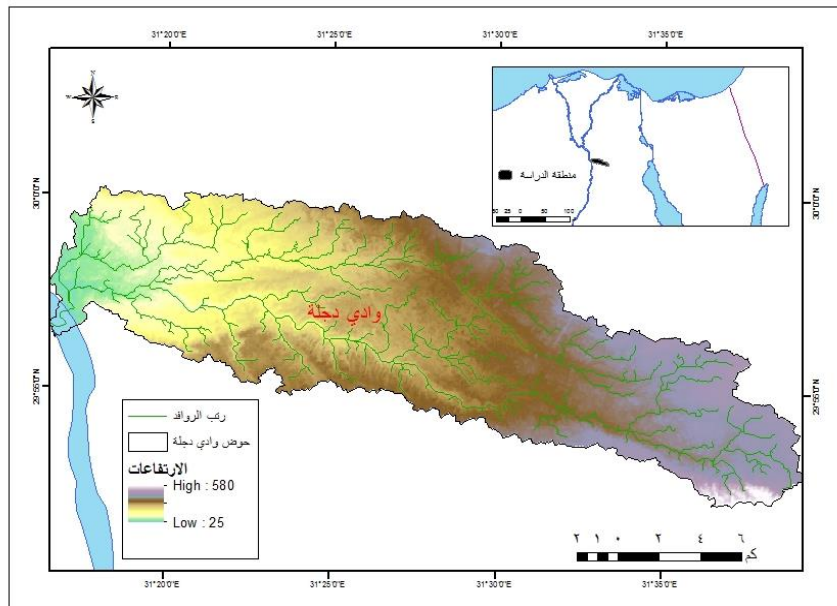
ج- شبكة التصريف:

ينبع وادي دجلة من جبل يهموم ا لأسمى على إرتفاع ٤٧٩ مترًا ، ويصب ب إتجاه وادي النيل، تأخذ خطوط تصريفه إتجاه شرقي - غربي، وتتميز بإنحدارها من الشرق إلى الغرب ، إذ تصب في النهاية بوادي النيل بواسطة مصبات صناعيةب زهراء المعادي.

ج/١- ابعاد الحوض

تتناول دراسة أبعاد الأحواض كلا من المساحة و الطول ، والعرض، والمحيط والموضحة بالجدول (٨). وتعتبر دراسة مساحة أحواض التصريف أحد خواص التحليل المورفومترى المهمة لما لها من علاقة بحجم التصريف بالحوض وذلك في حالة تساوى المتغيرات الأخرى المختلفة مثل شكل شبكة التصريف، وفي هذه الحالة تصبح كمية وقمة التصريف، ونوع الصخر ونظامه، والتضرس لها علاقة مباشرة بمساحة حوض التصريف ( محمود عاشور، ١٩٨٦، ص ٤٦٩ - ٤٧٠ ).

يتبيّن من تحليل الشكل (٨) والجدول (٨)) ان حوض وادي دجلة تبلغ مساحته نحو ٢٦١ كم<sup>٢</sup> ، بطول ٢٣ كم ، ومتوسط عرض ١٠ كم ونسبة استطاله بلغت ٠٠.٥ ، مما يشير الى استطاله الحوض.



المصدر: من اعداد الباحثة اعتمادا على الخريطة الطبوغرافية مقياس ١: ١٠٠٠٠٠ ومرئية

لاندسات٨ باستخدام برنامج ARC GIS10.8

شكل (٨) حوض وادي دجلة

## جدول (٨) الخصائص المورفومترية لحوض وادي دجلة

الخصائص	المقدار	الوحدة
مساحة حوض وادي دجلة (كم²)	٢٦١	٢٦١
طول حوض وادي دجلة (كم)	٢٣	٢٣
متوسط العرض (كم)	١٠	١٠
المحيط (كم)	٨٨.٤	٨٨.٤
نسبة الاستطاللة	٠.٥	٠.٥
نسبة الاستدارة	٠.٤	٠.٤
نسبة التضرس	٠٠٠١٤	٠٠٠١٤
التضاريس النسبية	٠.٦	٠.٦
درجة الوعورة	١.٨	١.٨

المصدر: من اعداد الباحثة اعتماداً على الخرائط الطبوغرافية مقياس ١:٥٠٠٠٠٠ والمرئيات الفضائية لاندستات ٨ باستخدام

برنامج Arc GIS10.8

#### ج/٢- الخصائص التضاريسية لحوض

تؤثر خصائص سطح الأحواض ، وخاصة انحدارات السطح على هيدرولوجية الأحواض ، وذلك فيما يتعلق بعملية الجريان السيلي من خلال تأثير الفاقد بطبيعة السطح ، فالسطح قليلة الانحدار تعطي فرصة لزيادة الفاقد ( التبخر والترب ) ، لأن مياه الأمطار تأخذ وقتاً أطول فوقها حتى تبدأ بالجريان ، في حين تقل السطوح شديدة الانحدار في الفوائد ، وتساعد على سرعة الجريان بصورة أكبر من السطوح المستوية ( محمود خضر ، ١٩٩٧ ، ص ٦٢ ) ، ويمكن إيجاز أهم المعاملات المورفومترية التي تلقى الضوء على خصائص سطح حوض تصريف وادي دجلة والموضحة بالجدول (٨) فيما يلي:

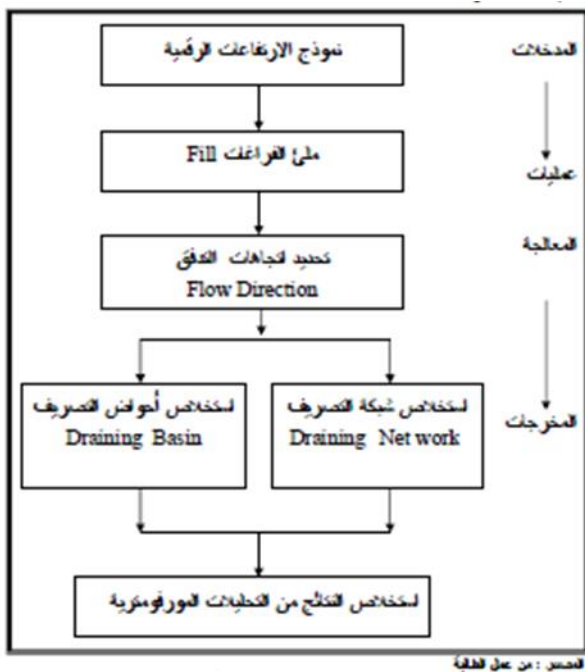
يتضح من دراسة الخصائص التضاريسية لحوض وادي دجلة ان نسبة التضرس بالحوض بلغت ٠٠٠١٤ مما يشير الى ان الحوض يعد متوسط التضرس ، ودرجة الوعورة بلغت قيمتها ١.٨ مما يعني انالحوض متوسط الوعورة، بينما بلغت قيمة التضاريس النسبية ٠.٦ وتشير هذه القيمة الى ارتفاع نسبة التضاريس النسبية وهذا بسبب الفارق بين ادنى واعلى منسوب بحوض وادي دجلة حيث بلغ ٥٥٥ مترا.

#### ج/٣- الخصائص المورفومترية لشبكة التصريف

تبرز أهمية الدراسة المورفومترية لشبكة التصريف فيما تقدمه من بيانات كمية غزيرة عن خصائص هذه الشبكة، وما يستخلص منها من نتائج تفيد في التعرف على الظروف المؤثرة في تطور الشبكات وخصائصها المختلفة سواء كانت هذه الظروف تتعلق بنوع الصخر وخصائصه والتركيب الجيولوجي أو تتعلق بالظروف المناخية التي تعرضت لها منطقة الدراسة في العصور المطيرة أوفي الوقت الحالى ، ولتحقيق هذا الغرض تم رسم شبكة التصريف لوادي

مجلة كلية الآداب بالوادى الجديد- مجلة علمية محكمة- ديسمبر ٢٠٢٤

دالة شكل رقم (٩) من الخرائط الطبوغرافية ١ : ٥٠٠٠ ، ونموذج الارتفاع الرقمي DEM بدقة ٣٠ متر، وقد رتبت مجاميعها تبعاً لطريقة ستريبل واستخرجت منها بعض المتغيرات المورفومترية باستخدام برنامج Arc map9 ، وقد تم معالجة نموذج الإرتفاعات الرقمية للحصول على شبكة التصريف، وذلك بإتباع الخطوات التالية :



شكل (٢٠) Flow Chart لاستخلاص شبكة وأنواعن التصريف بالإضافة  
على نموذج الإرتفاعات الرقمية

جدول (٩) الخصائص المورفومترية لشبكة تصريف وادي دجلة

الرتبة	العدد	الطول	نسبة التفرع
١	٧٠٥	٥٧٧.٤	٤.٠
٢	١٧٥	١٣٨.٥	٣.٠
٣	٥٨	٥٣.٧	١.٨
٤	٣٣	٣٧.٨	٣٣
٥	١	٢٦.٧	١٠.٥
المجموع			-
٩٧٢			٨٣٤.١

المصدر: من اعداد الباحثة اعتماداً على الخريطة الطبوغرافية ونموذج الارتفاع الرقمي باستخدام برنامج ARC GIS10.8

يتضح من تحليل الجدول (٩) أن مجموع أعداد روافد وادي دجلة بلغت ٩٧٢ راًف، وكان العدد الأكبر في الرتبة الأولى حيث بلغ ٧٠٥ راًف، بينما أقل عدد للروافد جاء في الرتبة الخامسة حيث كان العدد ١.

بلغ مجموع أطوال المجاري في منطقة الدراسة حوالي ٨٣٤.١ كم، حيث تراوحت أطوال الرتب بين ٢٦.٧ كم في الرتبة الخامسة و٥٧٧ كم في الرتبة الأولى، بينما بلغ متوسط نسبة التفرع ١٠٠.٥ ،

### ج/٣- كثافة التصريف

تكمن أهمية حساب كثافة التصريف في أنها تعبر عن أثر كل من نوع الصخر ونظامه، والتربة ، والتضاريس ، والغطاء النباتي، وتتوقف قيمة الكثافة التصريفية دون شك على كمية الأمطار الساقطة على إقليم الوادي ومعدلات التبخّر والتسرّب والنفاية ، وتشير قيم هذا المعامل إلى مدى تقارب مجاري الأودية فيما بينها، إذ عندما تزداد أعداد وأطوال خطوط التصريف تقل درجة انحدار السطح، ومن ثم يمكن التعرف على مدى تضرس سطح الوادي ودرجة تقطّعه ب تلك المجاري، وبالتالي يمكن إدراك مدى نمو هذه النظم التصريفية وتطورها (جودة حسنين جودة وآخرون، ١٩٩١، ص ص ٣٣٨ - ٣٣٩)، وقد بلغت كثافة التصريف بوادي دجلة ٣.٦ كم/كم<sup>٢</sup>، وتعد هذه الكثافة خشنة بوجه عام ، تبعاً لتصنيف سميث ١٩٥٠ ، وستريلر ١٩٥٧ ، حيث تكون قيمة الكثافة الخشنة أقل من ٥ كم/كم<sup>٢</sup> ، والكثافة المتوسطة من ٥٠٠ إلى ١٣.٧ كم/كم<sup>٢</sup> ، والكثافة الدقيقة أو الناعمة من ١٣.٧ إلى ١٥٥.٣ كم/كم<sup>٢</sup> (سمير سامي، ٢٠٠٥، ص ٣٥٦) ، وتعد هذه الكثافة مرتفعة إذا ما قورنت بكثافة التصريف في وادي ميعر ٣٠.٤ كم/كم<sup>٢</sup> (جودة فتحى التركمانى، ١٩٩٩، ص ٢٤٤)، وأودية الجانب الشرقي لوايدى النيل ٣٠.٥٢ كم/كم<sup>٢</sup> (كريم مصلح صالح، ٢٠٠١، ص ٣٤٣)، وأودية منطقة الغردقة ٣٠.٢ كم/كم<sup>٢</sup> (سمير سامي، ١٩٩٣، ص ٧٣)، وأودية الحافة الشمالية لهضبة الجاللة القبلية ٣٠.٤ كم/كم<sup>٢</sup> (أحمد فوزى ضاحى، ١٩٩٩، ص ٩٠) ، بينما يعد هذا المتوسط من الكثافات المنخفضة إذا ما قورن بكثافة التصريف فى وادى الرشراش ٨ كم/كم<sup>٢</sup> (محمود عاشور، ١٩٩٠، ص ٤٦) ، وأودية المنطقة الممتدة بين رأس بكر ورأس الدب ٨.٥ كم/كم<sup>٢</sup> (محمود حجاب، ٢٠٠٤، ص ١٧١) .

### ج/٤- النسيج الطبوغرافي

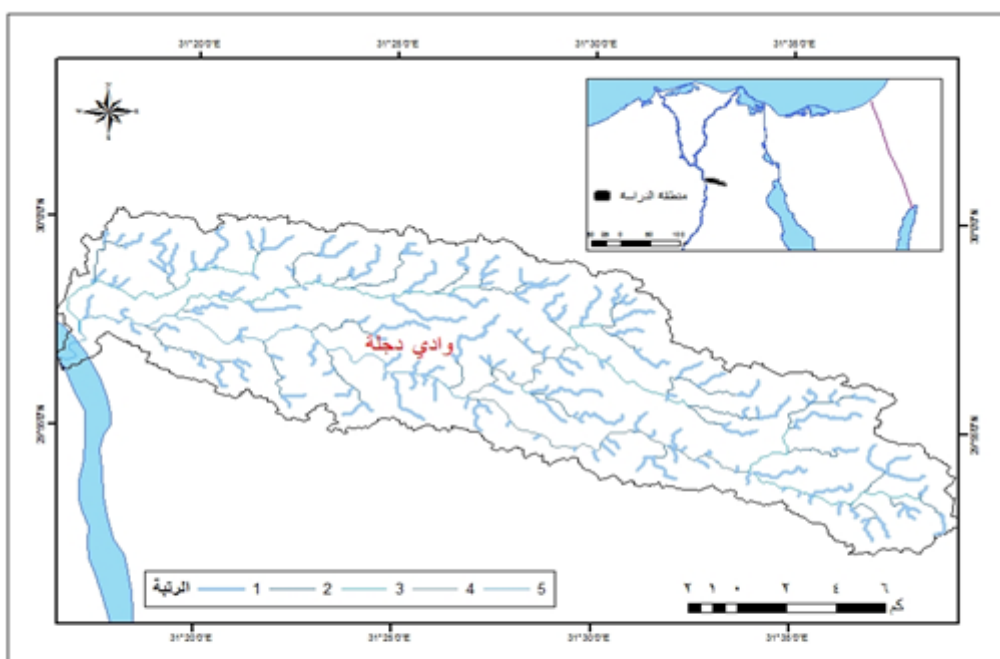
يعبر هذا المعدل عن درجة تقطع سطح الحوض بمجاري شبكة التصريف، أي يقيس درجة تقارب هذه المجاري بدون وضع أطوالها فى الاعتبار، وتصنف معدلات نسيج الأودية تبعاً لدرجة تقطّعها بالمجاري التصريفية .

مجلة كلية الآداب بالوادى الجديد- مجلة علمية محكمة- ديسمبر ٢٠٢٤

وقد بلغت قيمة النسيج الطبوغرافي في الحوض ١٠٠.٩ مجرى / كم، مما يشير إلى أن النسيج الطبوغرافي لواي دجلة نسج ناعم.

ج/٥- معدل بقاء المجرى

يقصد بمعدل بقاء المجرى النسبة بين الوحدة المساحية اللازمة لتغذية الوحدة الطولية من مجرى الشبكة ، وكلما كانت قيمة هذا المعدل دل ذلك على اتساع المساحة الحوضية على حساب مجرى شبكته المحدودة الطول ، مما ينتج عنه انخفاض في الكثافة (فتحي أبو راضي ، ١٩٩١ ، ص ٣٥٤ و ٣)، وقد بلغ معدل بقاء المجرى ٠٠٣ ، وتشير القيم المرتفعة لمعدل تكرار المجرى إلى وجود السيول ، بينما تشير القيم المنخفضة إلى وجود عدد قليل من الروافد ، مما يقلل من فرصة حدوث السيول ، ويزيد من فرصه التسرب الرئيسي لتغذية خزانات المياه الجوفية (El shamy, 1985,p. 353



المصدر: من اعداد الباحثة اعتماداً على الخريطة الطبوغرافية مقياس ١: ١٠٠٠٠٠ ومرتبة لانسات ٨ باستخدام

برنامج ARC GIS10.8

شكل (٩) حوض وادي دجلة

## جدول ( ١٠ ) كثافة التصريف في حوض وادي دجلة

٣٦	كثافة التصريف
١٠٩	النيل الطبوغرافي
٠٣	معدل بقاء المجرى

٢- المصدر: من اعداد الباحثة اعتمادا على الخريطة الطبوغرافية ونموذج الارتفاع الرقمي باستخدام برنامج GIS10.8

## ٣- الاشكال المورفولوجية بالمنطقة

يزخر الوادى وبعض روافده بالعديد من الإشكال الأرضية ذات المناظر الخلابة التي تجعل منه مزارا سياحيا طبيعيا مميزا لمن يرغب في سباحة المغامرة والسفاري مما يؤهل الوادى أن يكون مزارا سياحيا بيئة هاما، خاصة وأنه يتميز بقربه الشديد من القاهرة الكبرى ومن هذه الإشكال المورفولوجية:

الأودية الجافة: يعد وادي دجلة من أكبر الأودية الجافة بالمنطقة، حيث تتعدد روافده التي بلغ عددها ٢٥٤١٩ رافدا (سمير، سامي ١٩٨٩، ص ٩٩) وتختلف في كثافتها وحجمها تبعا للتكتونيات الجيولوجية وعامل الانحدار والموقع بين المنبع والمصب، حيث يتكون حوض وادي دجلة من أحد عشر رافدا رئيسيا (الخريطة رقم ١) ومن أهم هذه الروافد داخل المحمية وادي الحمارة وتلات ستيتة وتلات حميدة، كما يتصل به من الجنوب وادي تلات النجا وتلات الغز والبحيرات فضلا عن وادي الثماح. (جمال حمدان، ص ٥١٨ وسمير سامي، ٢٠٠٣، ص ١٢٠)

أقران عسل النحل: هي فجوات تكثر في الواجهات الصخرية خاصة صخور الايوسين الأعلى وتنشر بالجزء الأدنى لوادي دجلة ترجع نشأتها لعملية الإذابة، حيث تعمل قطرات الندى والأمطار التي تسقط بين الحين والآخر، على حفر فجوات صغيرة صورة (١٠، ١١) تتصل بعضها البعض لتكون فجوات أكثر عمقا واتساعا، وتساعد الرياح في توسيعها أحيانا والتي تتفتح المفتتات الناتجة عن عملية الإذابة بعد جفاف المياه.

الاكام القرمزية والموائد الصحراوية: تبدو الأكام أو التلال القرمزية في شكل أعمدة صغيرة لا يزيد ارتفاعها غالبا على ١.٥ مترا، نشأت نتيجة لتأكل التكتونيات المحيطة بها وبقيت هي لصابة صخورها نسبيا وهي منتشرة بالمجرى الأدنى للوادي على جانبيه. كما تنتشر بالوادي الموائد الصحراوية (صورة ١٢، ١٣) إلا أن النموذج المثالي منها يوجد بجوار الكانيون، حيث يبلغ ارتفاعها والتي ٤ متر تقريبا، ويكون سطحها من طبقة صلبة من الحجر الجيري بسمك ٥٠ سم ولا يزيد قطر بعضها عن الثلاثة أمتار، ويرجع تكونها بصورة رئيسية إلى الانكسار الذي شهدته المنطقة أولا ثم التجوية بفعل الرياح والتجوية الكيميائية التي سهلت من تأكل طبقاتها السفلية.

الشلالات الجافة: تنشر بمجرى الوادي الرئيسي وبمعظم روافده حيث توجد ثلاثة أنواع

منها:

▪ النوع الأول: الشلالات التركيبية التي شكلت على طول الحافات الصدعية التي تعترض بعض روافد الوادي، وإن كانت لا تظهر حالياً متطابقة مع خطوط التصدع ذاتها وإنما تبعد عنها نسبياً باتجاه المتابع تأثراً بعمليات النحت الصاعد التي أدت إلى تراجعها وتشكيل بعض الخواص نتيجة لذلك، ومن أهمها شلال وادي البحيرات الذي يبعد عن مصبـه حوالي ٧٥٠ متراً حيث توجد الحافة الصدعية التي اعترضت الوادي منذ نشأتـه، وقد تراجع الشلال إلى موضعه الحالي عن طريق النحت التراجعي خلال الفترات المطيرة السابقة. وتختلف عن ذلك وجود خانق يمتد من المصب حتى الشلال ويزداد ضيقاً بالقرب من الشلال حتى يصل اتساعـه إلى أقل من خمسة أمتار أسفل الشلال مباشرةً ومقدار سقوط الشلال حوالي مترین وشلال منتصف وادي تلات النجا الذي يبعد عن مصبـه ١٠٥ كم فقد تراجع عن الحافة الصدعية التي تمثل موضعه الأصلي بحوالـي كيلومتر واحد، وتختلف عنه أيضاً خانق يمتد بطول كيلومتر، ويظهر الشلال في شكل عـتبـات سلمـية (صورة ١٤) ويبلغ مقدار سقوطـه سبعـة أمتـار، وتعد ظـاهرـة الكـانـيونـات الموجودة على مسافة ١١٠٥ كـم من المدخل الغـربـي للمـحمـية من هذا النوع من الشـلالـات.

▪ النوع الثاني: الذي نشأ على غرار الأودية المعلقة حيث تعترض هذه الشـلالـات بعض الروافـد التي لم تستطع أن تعمق مجـاريـها بالشكل الذي يمكنـها من الاتصال بـمجـاريـ الأودـية الرئيسية التي تصبـ فيها، وذلك لـقلـة حـجمـ الجـريـانـ بهاـ عنـ المـجـاريـ الرـئـيسـيـةـ وـمـنـ ثـمـ أـصـبـحـتـ تـشـرـفـ عـلـيـهاـ بـهـذـهـ الشـلالـاتـ مـنـ أـهـمـ شـلالـاتـ هـذـاـ النـوعـ شـلالـ وـادـيـ تـلـاتـ حـمـدةـ الذـيـ يـبعـدـ عـنـ مـصـبـهـ ٢٠٠ـ مـتـراـ، وـشـلالـ وـادـيـ تـلـاتـ الغـزـ الذـيـ يـبعـدـ عـنـ مـصـبـهـ بـحـوالـيـ ٢٠٠ـ مـتـرـ وـيـبلغـ مـقـدـارـ سـقوـطـهـ بـحـوالـيـ ٢٥ـ مـتـرـ وـشـلالـ وـادـيـ تـلـاتـ النـجاـ الذـيـ يـبعـدـ عـنـ مـصـبـهـ بـحـوالـيـ ٥٠ـ مـتـرـ .

▪ النوع الثالث: عـبـارـةـ عـنـ نقطـ التجـديـدـ التيـ تـرـجـعـ إـلـىـ توـالـىـ انـخـفـاضـ مـسـتـوىـ القـاعـدةـ المـمـتـنـلةـ فـيـ نـهـرـ النـيلـ، حيثـ تـبعـ توـالـىـ تـعمـيقـ النـيلـ لـمـجـراهـ عـدـهـ مـرـاتـ فـيـ المـاضـيـ توـالـىـ تـعمـيقـ وـادـيـ دـجـلـهـ لـمـجـراهـ، وـلـكـنـ هـذـاـ التـعمـيقـ لـمـ يـصـلـ حـتـىـ مـنـابـعـهـ، رـبـماـ لـقلـةـ التـصـرـيفـ أوـ لـتـوقـفـ الجـريـانـ بـهـ أـثـنـاءـ فـتـرةـ الجـفـافـ التيـ شـهـدـتـهاـ المـنـطـقـةـ فـيـ المـاضـيـ، وـمـنـ ثـمـ نـتـجـ عـنـ تـكرـارـ هـذـهـ الـعـلـمـيـةـ وـجـودـ نقطـ تـجـديـدـ أوـ شـلالـاتـ تـعـرـضـ مـجـراهـ كـمـاـ هوـ مـوـضـحـ بـالـصـورـةـ وـمـثـيـلـاتـهـ بـرـوـافـدـهـ، هـذـهـ الشـلالـاتـ تـعـرـضـ مـعـظـمـ روـافـدـ وـادـيـ دـجـلـهـ الرـئـيـسيـ، كـمـاـ تـعـرـضـ رـافـدـيهـ وـادـيـ الـبـحـيرـاتـ وـادـيـ تـلـاتـ الغـزـ عـلـىـ شـكـلـ عـتـبـاتـ شـبـهـ سـلـمـيـهـ بـالـقـرـبـ مـنـ مـصـبـ كـلـ مـنـهـماـ. (سمـيرـ

سامـيـ، ١٩٨٩ـ، صـ ١٣٧ـ ١٤٧ـ)

برـكـ الغـطـسـ وـبـئـرـ دـجـلـهـ: تمـ تسـجـيلـ أـفـضلـ نـمـوذـجـ لـهـ أـسـفـلـ المـنـطـقـةـ التيـ يـطـلـقـ عـلـيـهاـ مـجـازـأـ شـلالـاتـ الـكـانـيونـاتـ، حيثـ تـتـعـدـ هـذـهـ البرـكـ وـيـتـبـاـينـ اـتسـاعـهـاـ (صـورـةـ ١٨ـ) ماـ بـيـنـ ٥٠ـ سـمـ وـ ٢ـ مـتـرـ، كـمـاـ تـقـاـوـتـ فـيـ العـقـمـ أـيـضاـ مـاـ بـيـنـ ٣٠ـ سـمـ وـ ٣ـ مـتـرـ، وـهـيـ عـلـىـ مـنـاسـيـبـ مـتـبـاـيـنـةـ.

وعندما تمتلئ الفجوات العليا ب المياه الامطار، تتحدر المياه منها على عتبة صخرية محدثة شلالاً لتمتلئ الفجوة التالية، وهكذا حتى تنتهي جميعاً إلى البئر الرئيسي وهو بئر دجلة الذي يصل قطره إلى ثلاثة أمتار وعمقه ١٠.٥ متر ويمثل بالرواسب التي تجلبها السيول (صورة ٦) فضلاً عن أكوام من الأكياس المتطايرة، وقد تكون هذا البئر نتيجة للدوامات المائية بفعل مياه السيول.

**الفجوات الجانبية والأسقف المعلقة:** تظهر متباينة أسفل بعض الأسقف المعلقة بجوانب الأولية نتيجة لنشاط عمليات النحت الجانبي بفعل الجريان المائي في الفترات المطيرة السابقة، خاصة في المناطق ذات الجوانب المقرعة التي يزيد فيها اندفاع المياه، مما يزيد من تأثير عمليات النحت ونفخه بضرر السفلى.

**كهوف وادي دجلة:** تم تسجيل معظمها بالجانب الشمالي للجري الرئيسي لوادي دجلة، ولوحظ أن مواقعها تأتى دائمًا في مواجهه مصب رافد للجري الرئيسي مباشرة. وتغطى الرواسب المفكرة أرضيه الكهوف، وهي تشير الى جريان مائي حيث تعد مخارج لمجاري مائية جوفية، وتظهر به فجوات كثيرة غير متجانسة، ربما تشكلت بفعل الإذابة بالمياه المتسربة إليه من أعلى، فضلا عن نشاط عمليات التجوية بها في الوقت الراهن، كما يقطن ببعض الكهوف الخفافيش والحمام البري وبعض البوم (هنا نظير، ٢٠٠٥، ص ٢٧٩ - ٢٨٤).

#### ٤- الخصائص البشرية للمحمية:

تميز منطقة وادى دجلة بمميزات عدّة من أهمها قربها من القاهرة الكبرى (تمتد زهراء المعادى قرابة ٣ كم داخل حدود المحمية)، كما أن المسافة من البوابة الشرقية للمحمية إلى منطقة محمية الغابة المتحجرة تبلغ قرابة ٨ كم، أما عن المسافة من البوابة الغربية إلى منطقة حفائر المعادى (حضارة المعادى) فتبلغ قرابة ٦ كم فقط (حضارة المعادى قامت في الفترة من ٣٨٠٠ : ٣٥٠٠ سنه ق.م قبل عصر الأسرات إلى الشمال مباشرة من دلتا وادى دجله حيث كانت الصحراء المصرية بيئه شبيهه بما يسود حاليا نطاق حشائش الاستبس. تشمل منطقة حفائر المعادى على مجموعة من المساكن ومقابر إنسان تلك الفترة، فضلا عن قرب محمية وادى دجلة من محميات الجزر النيلية.

**طرق النقل والمواصلات:** تتوفر للمحمية طرق النقل المرصوفة والمدقات، مما يعني مزيداً من التيسيرات لارتياح المنطقة من جميع الفئات الأجنبية والوطنية ب مختلف اعمارها وثقافتها (الخريطة رقم ٣) فالطرق المرصوفة التي تحيط بمنطقة المحمية أهمها طريق القطامية ويمتد

مجلة كلية الآداب بالوادى الجديد- مجلة علمية محكمة- ديسمبر ٢٠٢٤

لمسافه ٣٦ كم من رأس دلتا دجلة غربا حتى الجنوب قليلا من جبل يهموم الاسمر شرقا موازيا للحدود الشمالية للمحمية، حيث يبعد عنها في أقصى نقطة قرابة ٨٠٠ متر، بينما يبلغ متوسط بعده عن الحد الشمالي للمحمية ٣٠٠ متر فقط.

وتترعرع من طريق القطامية بعض الطرق الثانوية منها طريق القطامية العين السخنة (تم افتتاحه منذ بضعة شهور) وهو طريق يمتد الى الشمال مباشرة من الحد الشمالي للمحمية على بعد ١٦٠ مترا فقط، وفي بعض المواقع يدخل ضمن الحد الشمالي للمحمية.

أما عن طريق شق الثعبان فهو يمتد إلى الجنوب من المحمية بطول ٣٢ كم ومتوسط عرض ٩-٦ أمتار على طول خط تقسيم المياه بين وادي دجلة ووادي حوف، بصفه عامة يتميز هذا الطريق بأنه أكثر تعرجا من السابق نتيجة لوجود بعض القمم التي يلتف حولها، وهذا الطريق عسكري غير مسموح للمدنيين باستخدامه، كما يوجد بالمحمية العديد من المدققات التي كانت سابقاً معدة لخدمة المحاجر والمناطق العسكرية على وجه الخصوص، وتتشتت خطوط العديد منها مع بعض المجاري المائية الفرعية .

**التحجير:** توجد منطقة محاجر الحجر الجيري داخل الجزء الجنوبي الغربي من المحمية وتوacial امتدادها خارج حدود المحمية المعلنة، وتعرف بمنطقة محاجر شق الثعبان كما هو موضح بالخرائط رقم ( ) . ويبلغ أقصى امتداد للمحاجر داخل حدود المحمية حوالي ٢٠.٩ كم وهناك محاجر معطلة على العمل بعد إعلان المنطقة محمية طبيعية وهي الأقرب للجري الرئيسي، بينما باقي المنطقة تعمل بكامل طاقتها(هنا نظير، ٢٠٠٥ ص ٢٨٨)

**ثانياً: التقييم النوعي للتعرية المائية باستخدام نموذج EPM**

يعتمد في تطبيق نموذج EPM على مؤشرات عديدة جدول (٨): معامل الانحدار، ومؤشر الغطاء النباتي، ومؤشر حماية التربة، أو خريطة التكوينات الجيولوجية السطحية، والمعدل السنوي لتساقطات الأمطار، ومعامل الحرارة، ويتم احتساب معامل التعرية المحتملة Z من خلال المعادلة التالية:

$$Z = Y * X_a * (\theta * \sqrt{J_a})$$

حيث:

Z = معامل التعرية المحتملة

Y = معامل قابلية التربة والتكونات السطحية للتعرية

X<sub>a</sub> = معامل حماية التربة

$\theta$  = معامل تطور التعرية وشبكة التصريف

J<sub>a</sub> = انحدار الوادي بالنسبة المئوية

بالنسبة للقيم  $Y - Xa$  - Ø تستخرج اعتماداً على جداول اعدها جافريلوفيك عام ١٩٥٤ م وعدلها من بعده مجموعة من الباحثين (Zornm. & Al. 2004) و (Stefanovic,M. & Al. 2004) و (Komac B. 2005)

#### جدول (١١). العوامل الوصفية المستخدمة في تقدير قيمة معامل التعرية.

معامل قابلية التربة للتعرية	Y
صخور صلبة شديدة المقاومة	٠,٣ - ٠,١
صخور ذات مقاومة متوسطة	٠,٥ - ٠,٣
صخور ضعيفة المقاومة	٠,٦ - ٠,٥
ركام حطامي ورواسب خشنة وترسب صلصالية	٠,٨ - ٠,٦
رواسب رملية ناعمة وترسب لا مقاومة لها	١,٠ - ٠,٩
معامل حماية التربة	Xa
غابات مختلطة كثيفة - متوسطة الكثافة وأحراج	٠,٢ - ٠,٠٥
غابات صنوبرية وجنبات متبعثرة وأجمات على جوانب القنوات المائية	٠,٤ - ٠,٢
مزارع وغابات أو جنبات متضررة	٠,٦ - ٠,٤
مزارع ومراع متضررة	٠,٨ - ٠,٦
أراضي جرداً	١,٠ - ٠,٨
معامل تطور التعرية وتطور شبكة التصريف	$\Phi$
تعرية ضعيفة في حوض التصريف	٠,٢ - ٠,١
تعرية في القنوات المائية بين ٢٠% - ٥٠% من حوض التصريف	٠,٥ - ٠,٣
تعرية في الأنهر، والأحاجيد والإرسابات الفيضانية، وتعرية كارستية	٠,٧ - ٠,٦
٥٠ - ٨٠% من حوض التصريف تحت تأثير التعرية والانزلاقات الأرضية	١,٠ - ٠,٨
جميع حوض التصريف تحت تأثير التعرية	١,٠

المصدر: نقلًا عن سعد أبوراس الغامدي، ٢٠٠٩

استخلاص المؤشرات المستخدمة كما يلي:

أولاً: معامل قابلية التربة والتكونيات السطحية للتعرية (Y):

تم الاعتماد على الخريطة الجيولوجية للتكونيات السطحية لإنشاء طبقة التركيب الصخري لمنطقة الدراسة. وقد خصص لكل نوع من الصخور قيمة طبقاً لجدول رقم (١٢) تتوافق مع طبيعة الصخر. وقابلية التربة للتعرية السطحية ، وما نتج من هذا هو قيمة معامل Y وهو معامل قابلية التربة للتعرية شكل رقم ( ١٠ ) والذي يتبع منه تصنيف منطقة الدراسة إلى ثلاثة فئات طبقاً لمعامل قابلية التكونيات السطحية للتعرية وهي :

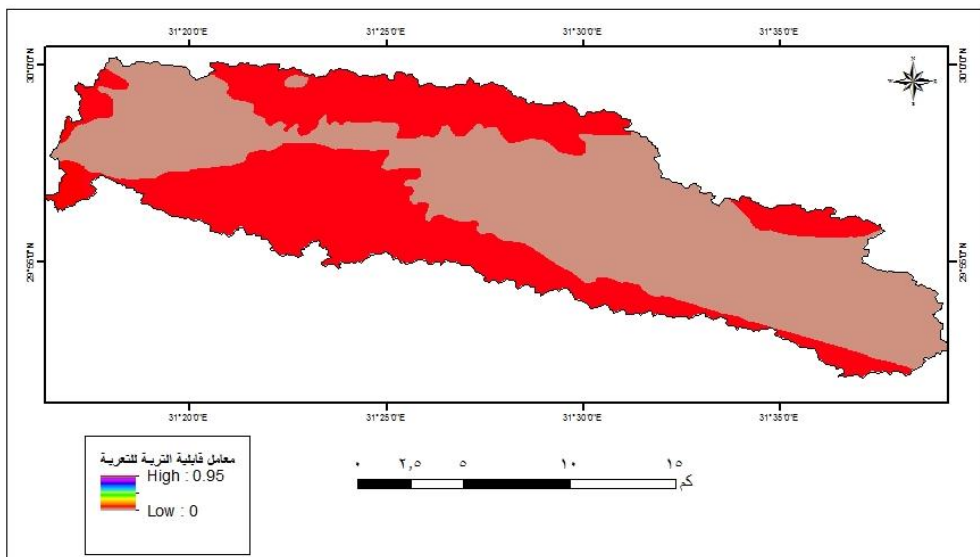
## مجلة كلية الآداب بالوادى الجديد- مجلة علمية محكمة- ديسمبر ٢٠٢٤

- ١- فئة التكوينات شديدة المقاومة وتمثل ٥٦.٦ % من مساحة منطقه الدراسة
- ٢- فئة التكوينات متوسطة المقاومة وتمثل ٤٢.٤ % من مساحة منطقة الدراسة
- ٣- فئة التكوينات ضعيفة المقاومة ٠.٩٩ % من مساحة منطقة الدراسة

**جدول (١٢) معامل قابلية التربة للتعرية ٧**

قابلية التربة للتعرية	متوسط قيمة المعامل	المساحة بالكم²	النسبة %
صخور شديدة المقاومة	٠.٣	١٤٧.٤	٥٦.٦
صخور ذات مقاومة متوسطة	٠.٤	١١٠.٥	٤٢.٤
صخور ضعيفة المقاومة	٠.٥٥	٢.٦	٠.٩٩
ركام حطامي	٠.٧٥	-	-
رواسب رملية ناعمة	٠.٩٥	-	-

المصدر: من اعداد الباحثة اعتمادا على الجيولوجية مقياس ١:٢٥٠٠٠٠ باستخدام برنامج Arc GIS10.8



المصدر: اعتمادا على الخريطة الجيولوجية مقياس ١:٢٥٠٠٠٠ باستخدام برنامج Arc GIS10.8

**شكل ( ١٠ ) معامل قابلية التربة للتعرية**

### ثانياً: مؤشر حماية التربة (Xa)

يقصد بمؤشر حماية التربة (Xa) في نموذج Gavrilovic مستويات كثافة التغطية النباتية ، التي تساعد في تثبيت التربة وإبطاء سرعة الجريان السطحي والزيادة في نفاذية المياه بداخلها ، والتقليل من انجرافها. للغطاء النباتي دور مهم في التقليل من حدة التعرية عن طريق حماية التربة من التأثيرات المباشرة للتساقطات المطرية، وذلك عبر اعتراض أوراق الأشجار ل قطرات المطر ، وتقليلها من حدة اقتلاع جزيئات التربة وكذا رفعها لنسبة النفاذية .

استخلاص مؤشر حماية التربية (Xa) من خلال صور الأقمار الصناعية:

لاستخلاص قيم مؤشر معامل حماية التربة تم حساب معامل التغطية النباتية NDVI انطلاق من صورة القمر الصناعي لاندسات ومواءمة نتائجها مع المعايير التي حددها كل من Zorn and Komac 2008 وذلك بحصر القيم الموجبة لمؤشر التغطية النباتية في ٠.٦ أعلى قيمة، والتي تمثل المجالات ذات الكثافة النباتية العالية بالحوض، والقيم السالبة في - ٠.١٩ كأدنى قيمة والتي توافق الأراضي الجرداء.

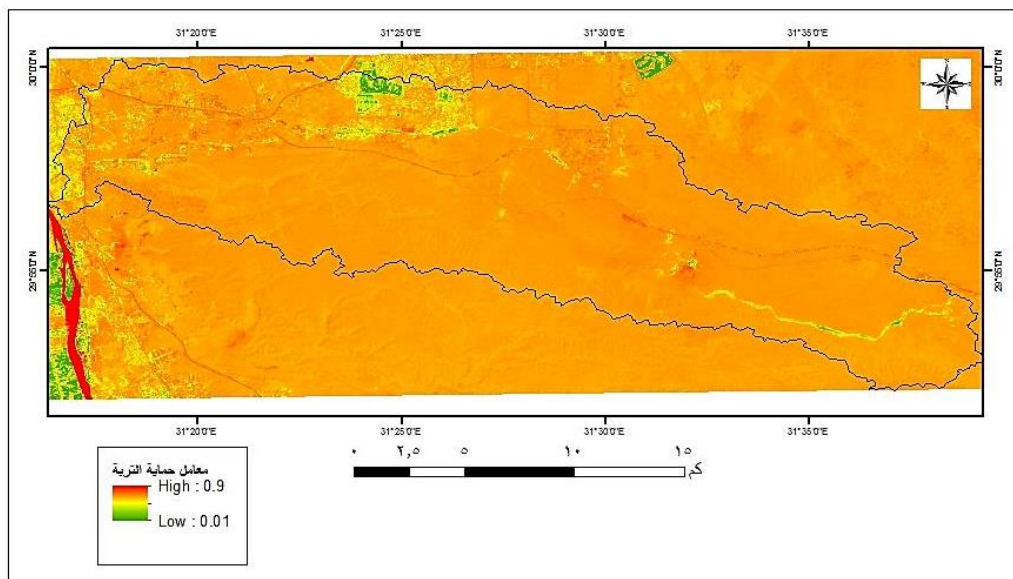
بعد ضبط معامل التغطية النباتية ثم حساب  $Xa$  وفق المعادلة التالية :

$$X_a = (X_a \text{NDVI} - 0,61) * (-1,25)$$

حيث :  $Xa$  : مؤشر حماية التربة و  $XaNDVI$  : معامل التغطية النباتية المعدل لموازنة معايير مؤشر حماية التربة.

وبهذا تصبح قيم مؤشر حماية التربة محصورة بين ١ .٠٠٠ .٠٠١ بالنسبة للمجالات ذات الكثافة البناءية العالية و ١ بالنسبة للأراضي الجرداء قد تم تحديد متوسط القيم الثابتة التي استخدمت في معادلة مؤشر  $Xa$  اعتماداً على نتائج تطبيق معامل التغطية البناءية على صورة قمر صناعي من نوع 8 Landsat لعام ٢٠١٤ (جمال شعوان وآخرون ٢٠١٣، ص ٧٩ - ٨٠) . ويتم تطبيق المعادلة باستخدام برنامج Arc map 10.8 من خلال التحليلات المكانية واستخدام أمر Raster Caltulator.

ويتضح من الشكل رقم ( ١١ ) إن قيم معامل حماية التربة تراوح مبين ٠٠٧ - ٠٩ ، الا أن المساحات الجرداء تمثل نحو ٩٧ % من منطقة الدراسة، بينما المساحات الخضراء تشغّل نحو ٢ % من مساحة المنطقة.



المصدر: من اعداد الباحثة اعتمادا على المرئية الفضائية لاندست ٨ باستخدام برنامج Arc GIS10.8

### شكل ( ١١ ) معامل حماية التربة Xa

**مجلة كلية الآداب بالوادى الجديد - مجلة علمية محكمة - ديسمبر ٢٠٢٤**

**ثالثاً: مؤشر تطور التعرية  $\phi$  من خلال المرئيات الفضائية عالية الدقة:**

تحتاج قيم هذا المؤشر باختلاف حجم الأحواض المائية، ويستلزم دراسة ميدانية بالإضافة إلى مرئيات فضائية عالية الدقة وبسبب عدم توافر هذه المرئيات الأسباب متعددة، يتم الاعتماد على معادلة لحساب هذا المؤشر من صور لاندستات والتي صاغها (MILVSKI. I) ويتم حسابه من خلال المعادلة التالية:

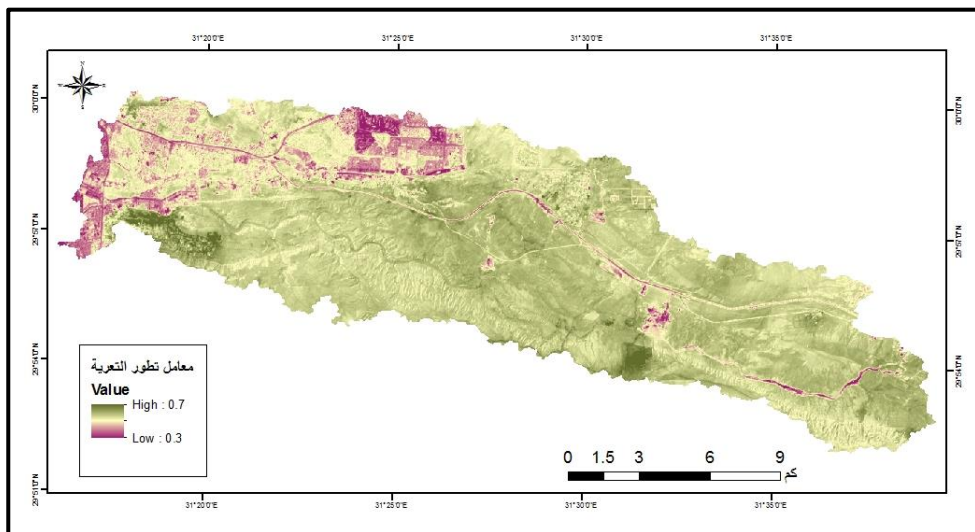
$$\phi = \sqrt{\frac{tm^3}{Q_{max}}}$$

$tm^3$  = الباند الثالث في المرئي

$Q_{max}$  = القيمة القصوى للإشعاع وهذا يستخرج من الملف الوصفي للمرئية ويفضل استخدام المرئيات المصورة في فصل الخريف.

وبحسب نتائج هذه المعادلة يمكن مقارنة المعايير الوصفية التي حددها جافريلوفيك في الجداول الوصفية للطريقة الكلاسيكية وبين الطريقة التقليدية التي تعتمد على مرئيات الأقمار الفضائية وتطبيقات علم الجيوماتكس التي توفر الوقت والجهد (صلاح محمد صلاح دباب ، ٢٠١٩ ، ص ٨٧٥).

وقد تم استخلاص هذا المؤشر بواسطة برنامج Raster GIS ARC وتطبيق calculator ومن ثم إنتاج خريطة معامل تطور التعرية  $\phi$  شكل (١٢) ، والتي توضح أن منطقة الدراسة تقع في فنتين هما : الفئة الأولى يقع نحو ٢٠٪ من مساحة المنطقة في الفئة التي تتراوح بين (٠.٣ - ٠.٥ ) (تعرية في القنوات المائية بين ٢٠٪ - ٥٠٪ من حوض التصريف)، بينما يقع نحو ٨٠٪ من مساحة المنطقة في الفئة التي تتراوح بين (٠.٦ - ٠.٧ ) أي أن أكثر من ثلثي المنطقة يقع ضمن الفئة شديدة التعرية .



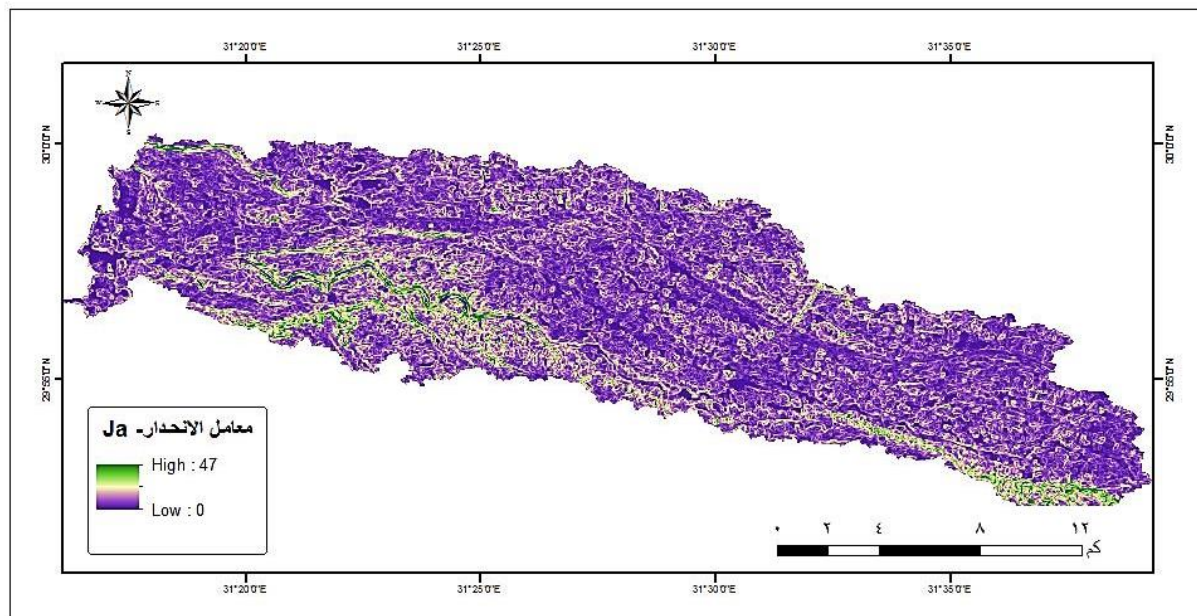
المصدر: من اعداد الباحثة اعتماداً على المرئية الفضائية لاندستات ٨ باستخدام برنامج Arc GIS10.8

**شكل ( ١٢ ) معامل تطور التعرية  $\phi$**

## رابعاً: مؤشر الإنحدار Ja

تم الإعتماد على استخلاص الإنحدارات من نموذج الارتفاع الرقمي DEM بطريقة النسبة المئوية، ويرتبط ارتفاع نسبة الإنحدارات القوية بحداثة التضاريس حيث تهيمن على حوض وادى دجلة الإنحدارات المتوسطة وفوق المتوسطة والخيفية بنسبة ٥٧٥٪ من مساحة الوادى، وتزداد حدة نقل المواد المفتلة نتيجة الجريان السيلى والجاذبية في الإنحدار الأسفل مع ارتفاع درجات الإنحدار، فالإنحدار المائى يرتفع بالموازاة مع الإنحدار الطبوغرافي.

تم إعداد خريطة الإنحدار باستخدام برنامج ARC MAP 1.8 حيث صنفت الإنحدارات اعتماداً على تصنيف (Young, 1972. P.173) إلى سبع فئات ويتبع من دراسة الشكل رقم (١٣) والجدول (١٣) أن فئتي الإنحدار المتوسط وفوق المتوسط تشغّل ٤٢,٤٪ من مساحة المنطقة، بينما الإنحدارات الشديدة والشديدة جداً تشغّل نحو ٢٠,١٪



المصدر: من اعداد الباحثة اعتماداً على نموذج الارتفاع الرقمي DEM باستخدام برنامج Arc GIS10.8

شكل ( ١٣ ) ( معامل الانحدار Ja

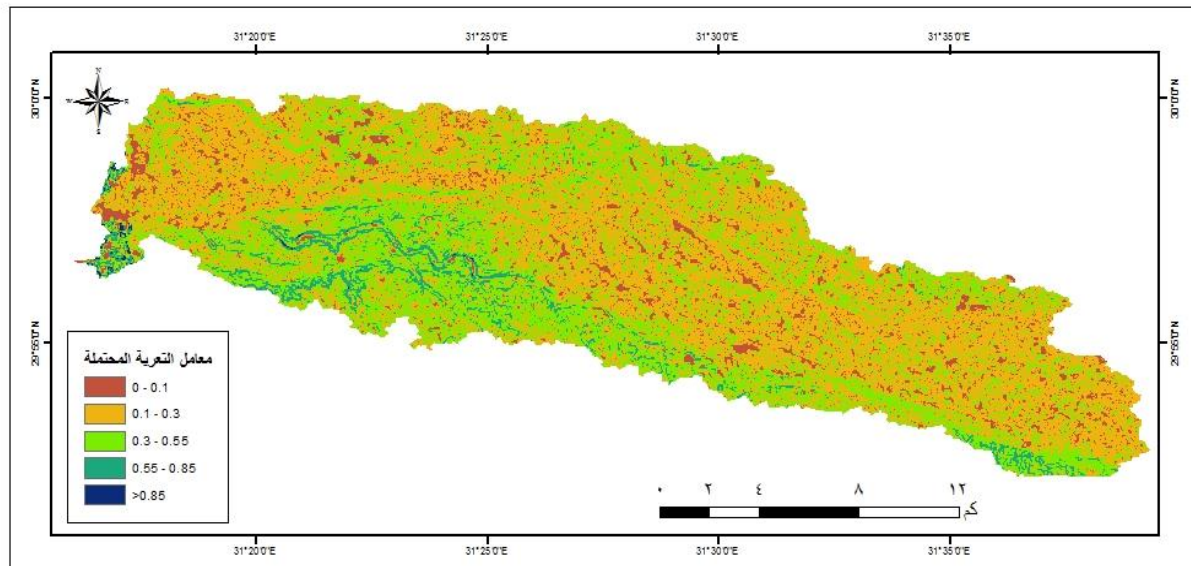
### جدول ( ١٣ ) معامل الانحدار Ja

نسبة المؤوية	المساحة	طبيعة الانحدار	فئة الانحدار
١٩.٤	٥٠.٧٦	مستوي	صفر - ٢
٣٥.٠	٩٠.٧٨	خفيف	٥ - ٢
٣١.٧	٨٢.٧٨	متوسط	١٠ - ٥
١١.٧	٣٠.٧٥	فوق المتوسط	١٨ - ١٠
٢.٠	٥.٤٨	شديد	٣٠ - ١٨
٠.١	٠.٢٢	شديد جداً	٤٥ - ٣٠
-		جرف	٩٠ - ٤٥

المصدر : من إعداد الباحثة اعتماداً على نموذج الارتفاع الرقمي DEM باستخدام برنامج Arc MAP 10.8

### خامساً: التعرية المحتملة من خلال معامل Z:

تم دمج المؤشرات سابقة الذكر في برنامج Arc Map 10.8 لإستخلاص التقدير النوعي للتعرية المائية حيث تم تصنيف مستويات التعرية المحتملة كما حددها جافريلوفيك في خمسة فئات كما في شكل ( ١٢ ) والجدول ( ١١ ) .



المصدر : من اعداد الباحثة اعتماداً على تطبيق معادلة جافريلوفيك باستخدام برنامج Arc GIS10.8

شكل ( ١٤ ) مستويات التعرية المحتملة (Z) في وادي دجلة

## جدول ( ١٤ ) استخلاص قيمة التعرية المحتملة (Z) في منطقة الدراسة

مستوى التعرية (Z)	المساحة كم <sup>٢</sup>	معامل التعرية	النسبة المئوية
شديد جداً	١.٢٥	١٨.٦	٧.٢
شديد	٠.٨٥	١٤٢.١	٥٤.٦
متوسط	٠.٥٥	٨٨.٢	٣٣.٩
خفيف	٠.٣٠	١٠٠.٧	٤.١
خفيف جداً	٠.١٠	٠.٤	٠.٢

المصدر: من اعداد الباحثة من خلال تطبيق معادلة (Z) باستخدام برنامج Arc Map 10.8

يتضح من الشكل ( ١٤ ) والجدول ( ١٤ ) سيادة فئتي التعرية الشديدة بنسبة ٥٤.٦ % من اجمالي مساحة المنطقة، يليها فئة التعرية المتوسطة بنسبة ٣٣.٩ % ، ثم فئة التعرية الشديدة جداً بنسبة ٧.٢ % من اجمالي مساحة منطقة الدراسة.

### ثالثاً: التقدير الكمي للتعرية المائية باستخدام نموذج EPM .

إن أهم ما يميز هذا النموذج عن غيره من النماذج الرياضية الأخرى التي تدرس التعرية، هو أنه يقدر مختلف أنواع التعرية، وأنه صمم خصيصاً للمناطق الجبلية وهذا ما يميزه عن المعادلة العالمية المشهورة لفقدان التربة R.U.S.L.E وأهم ما يعيّب هذه المعادلة العالمية هي أنها أعدت لدراسة المناطق ضعيفة الأنحدار التي لا تتجاوز ٥ درجات ، ويتم احتساب التقدير الكمي للتعرية المائية من خلال المعادلة التالية:

$$W = H \times T \times \pi \times \sqrt{Z}^3$$

حيث أن:

$W$  = المعدل السنوي للتعرية (م<sup>٣</sup> / كم<sup>٢</sup> / السنة) .

$H$  = المعدل السنوي للأمطار (ملم) .

$T$  = معامل الحرارة.

$\pi$  = معامل ثابت يساوي (٣.١٤) .

$Z$  = معامل التعرية المحتملة

**معامل (H) التساقطات المطرية:** تعتبر التساقطات المطرية من العوامل الرئيسية

المحركة للتعرية المائية بالريف الأوسط بدءاً من قطرات المطر التي تصدم بالسطح مروراً بالجريان السطحي وانتهاء بقنوات التصريف الرئيسية. كما تعمل الزخات المطرية العاصفية

مجلة كلية الآداب بالوادى الجديد- مجلة علمية محكمة- ديسمبر ٢٠٢٤

والفجائية على جرف كميات كبيرة من التربة، خاصة بالمجالات الهاشمية التي تتميز بانحدارات قوية وبغياب تغطية نباتية وباستغلال مفرط لالسخون .

يستخدم هذا المعامل القيمة العادلة للأمطار وهي (ملم) على عكس المعاملات الأخرى، وقد حلت باستخدام التحليل المجالي (IDW)، في برنامج (ARC gis 10) الخريطة (١٥ ) ، اذ تتراوح كميات الامطار بين (٧٢٠.٥ ) ملم إلى (٨٢٠.٢ ) ملم . وقد تم الاعتماد على بيانات المناخ من موقع <https://power.larc.nasa.gov/data-access-viewer> وهي عبارة

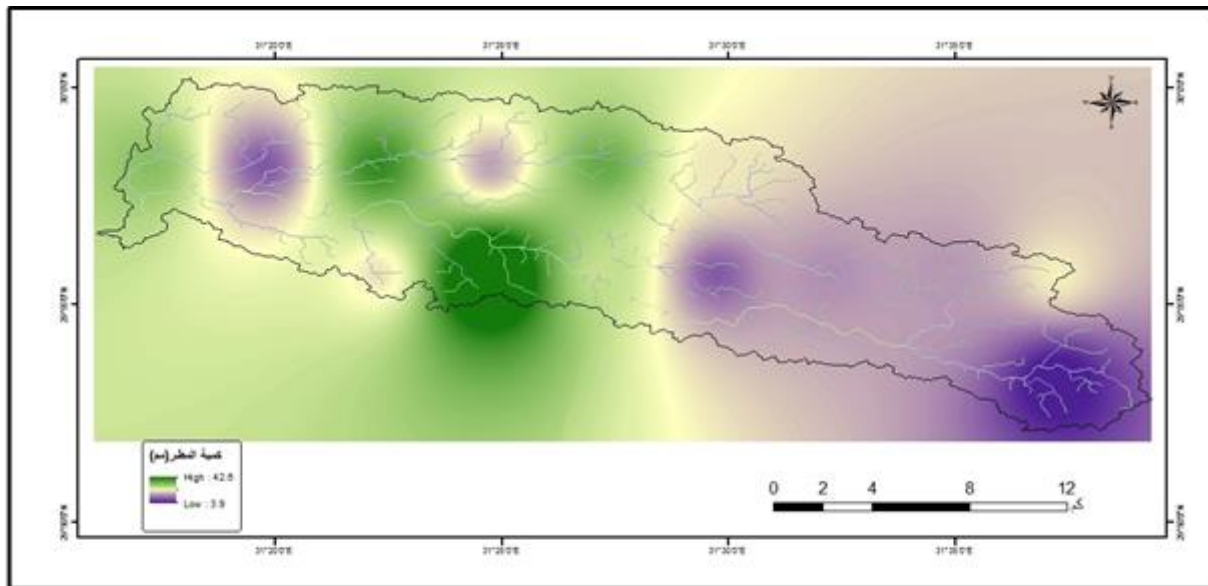
عن متوسطات سنوية للفترة من ٢٠٢٠ حتى ٢٠٢٤ م

جدول (١٥) متوسطات كمية المطر بمنطقة الدراس من ٢٠٠٠ - ٢٠٢٤

المحطة	دائرة العرض	خط الطول	المتوسط (مم)
1	30.0125	31.1817	72.544
2	29.8601	31.305	72.544
3	29.8623	31.3746	72.544
4	29.869	31.2216	72.544
5	29.8711	31.4685	72.544
6	29.8705	31.4844	72.544
7	29.8751	31.5978	82.2516
8	29.8938	31.4198	72.544
9	29.9207	31.3181	72.544
10	29.9327	31.4724	72.544
11	29.9256	31.4932	72.544
12	29.9317	31.627	82.2516
13	29.9302	31.3802	72.544
14	29.9419	31.5571	72.544
15	29.9516	31.5264	82.2516
16	29.9544	31.5928	72.544
17	29.9519	31.638	82.2516
18	29.9816	31.3876	72.544
19	29.9902	31.3202	72.544
20	29.9988	31.2661	72.544

المصدر: إعداد الباحثين اعتماداً على بيانات موقع وكالة ناسا لمنطقة الد راسة من خلال الرابط

<https://power.larc.nasa.gov/data-access-viewer/>



المصدر: من اعداد الباحثة اعتماداً على بيانات موقع وكالة ناسا لمنطقة الدراسة من

Arc GIS10.8 خلال استخدام برنامج <https://power.larc.nasa.gov/data-access-viewer>

### شكل ( ١٥ ) معامل التساقطات المطرية H

**معامل حرارة التربة (T) :**

يعد ذات اهمية كبيرة لما له من تأثير في رفع كمية التبخر وخصوصاً من التكوينات الصلصالية وبما تسببه من تسقفات وتفكك لترتها، ويعتمد في استخراجها على المعادلة التالية: حيث أن:

$$T = \sqrt{\frac{C}{10} + 0.1}$$

C = المعدل السنوي لدرجة الحرارة.

وباستخدام صور (8) للنطاق العاشر (Band 10) وهو النطاق الحراري وللحصول على المتوسطات الحرارية للتربة تم اعتماد صور (Landsat 8) لعام ٢٠٢٤، وتعتمد هذه الطريقة على مرحلتين اساسيتين هما.

المرحلة الأولى: يتم من خلالها تحويل قيم البيكسل (Pixel) إلى إشعاع باستخدام التحويل الخطى العكسي حسب معادلة التحويل التالية:

$$\text{Radiance} = \frac{L_{\max} - L_{\min}}{Q_{\text{cal. max}} - Q_{\text{cal. min}}} \times (DN - Q_{\text{cal. min}}) + L_{\min}$$

- س.

$L_{\max}$  = أقصى قيمة للإشعاع.

$L_{\min}$  = أدنى قيمة للإشعاع.

مجلة كلية الآداب بالوادى الجديد - مجلة علمية محكمة - ديسمبر ٢٠٢٤

- أعلى قيمة يأخذها البكسل.  $Qcal\ max$

- ادنى قيمة يأخذها البكسل.  $Qcal\ min$

- قيمة البكسل.  $DN$

وستخرج جميع تلك القيم من الملف المرفق مع صورة القمر (Landsat 8).

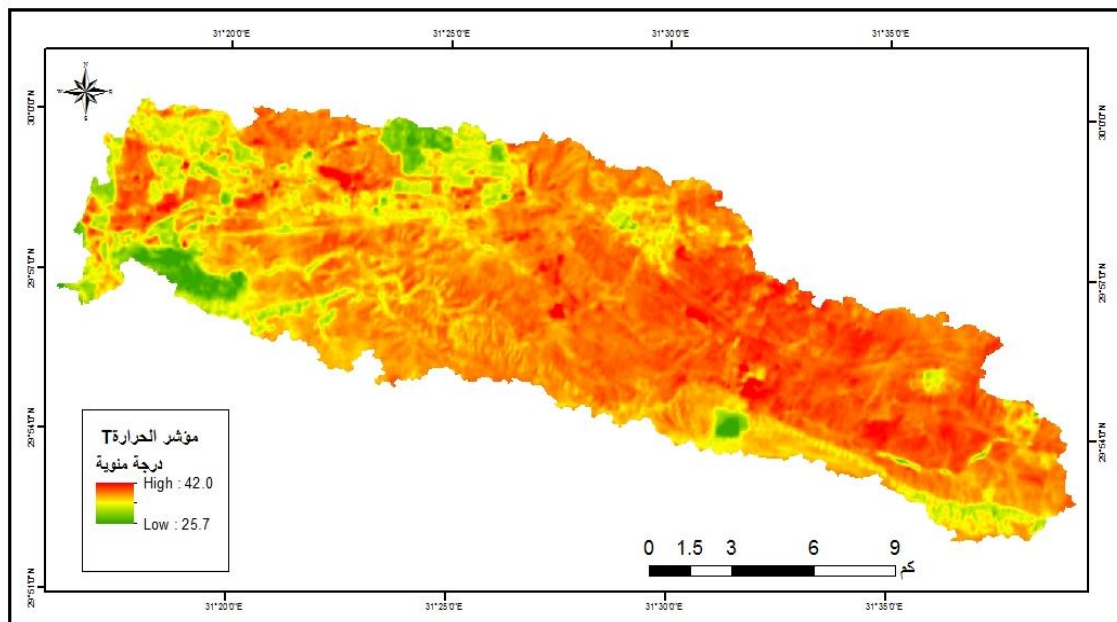
المرحلة الثانية: هي تحويل الاشعاع إلى حرارة ويتم ذلك حسب المعادلة التالية: ( عبد

القادر مهدي صالح ٢٠٢٢٠، ١١٧)

$$T = \frac{K2}{\left( \frac{K1}{Radiane} \right) + 1}$$

اذ ان:  $K1 + K2$  ثوابت تتغير مع تغير الأقمار الصناعية

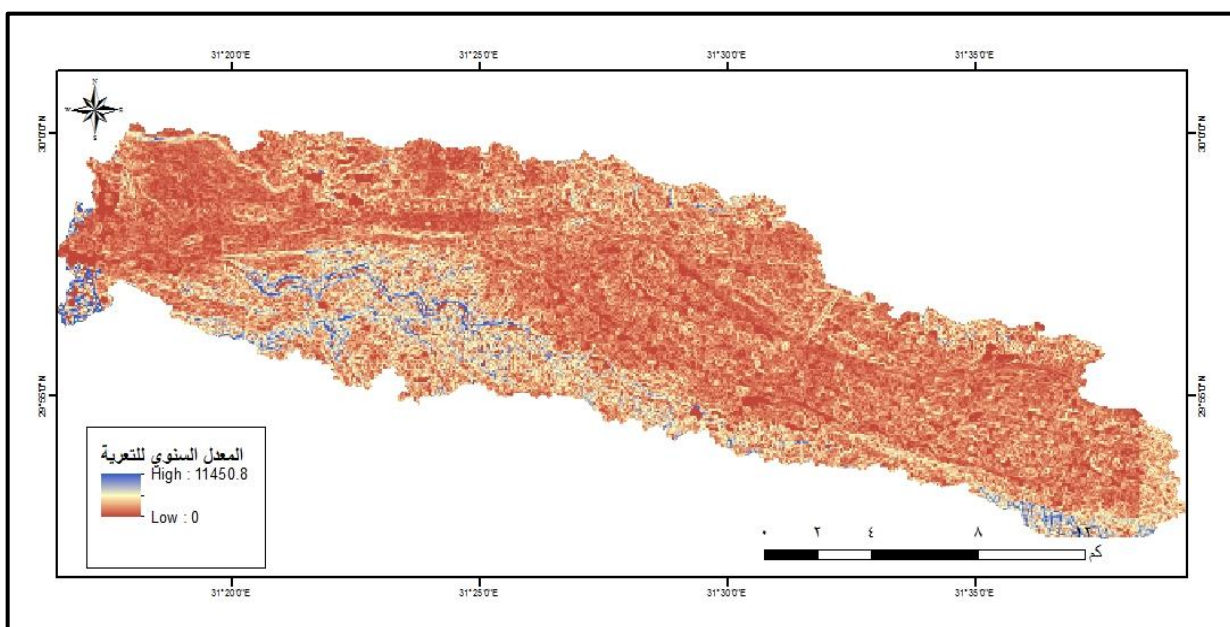
TM	ETM	T
٦٠٧,٧٦	٦٦٦,٠٩	K1
١٢٥٠,٥٦	١٢٨٢,٧١	K2



المصدر: من اعداد الباحثة اعتماداً على المرئية الفضائية لاندستات ٨ باستخدام برنامج Arc GIS10.8

شكل ( ١٦ ) معامل حرارة التربة T

يتضح من خلال الشكل (١٦) أن معامل حرارة التربة يتراوح بين  $(4200^{\circ} - 25.7^{\circ})$  ، وتنحصر أعلى درجات الحرارة في الجزء الشمالي الشرقي من الوادي . وقد تم استخلاص جميع مؤشرات المعادلة الرئيسية لقياس المعدل السنوي للتعرية، ثم دمج هذه المؤشرات في برنامج Arc GIS10.8 من خلال Raster calculator، وتم تصنيف مستويات التعرية حسب التربه المقلعة، ويوضح من الجدول (١٦) والشكل (١٦) ان مستويات التعرية تقع بين  $(4.6 \text{ م}^3 / \text{كم}^2 \text{ السنة})$  وبين  $(128.3 \text{ م}^3 / \text{كم}^2 \text{ السنة})$  أي ان التعرية في منطقة الدراسة تقع ضمن خمسه مستويات من المستويات التي حددها جافريلوفيك، وأن الفئه الثالثة وهي التعرية المتوسطة شكلت اكبر مساحه حيث بلغت  $49.3\%$  من مجموع مساحة المنطقة ، بينما شكلت فئه التعرية المعممه  $32.8\%$  وشغلت فئه التعرية القوية اقل نسبه وهي  $2.4\%$  من اجمالي مساحه المنطقة ، بينما شغلت التعرية الضعيفه  $11.8\%$  ، اما التعرية غير الواضحة فتمثل  $3.8\%$  من اجمالي مساحه المنطقة .



المصدر: من اعداد الباحثة اعتماداً على تطبيق معادلة جافريلوفيك التقدير الكمي للتعرية المائية باستخدام برنامج Arc GIS10.8

شكل (١٦) حجم التربة المقلعة W طبقاً لنموذج جافريلوفيك EPM

**مجلة كلية الآداب بالوادى الجديد - مجلة علمية محكمة - ٢٠٢٤ ديسمبر**

**جدول (٦) مستويات ومساحات التعرية المقلعة في المنطقة (م٣ / كم٢ السنة)**

الفئة	حجم التعرية (م٣ / كم٢ السنة)	شدة التعرية	النسبة %	المساحة (كم٢)
١	٥٠ - ٠,٢٥	غياب التعرية أو غير واضحة	٣,٧	٩,٨
٢	٥٠٠ - ٥٠	تعريه ضعيفة	١١,٨	٣٠,٧
٣	١٥٠٠ - ٥٠٠	تعريه متوسطة	٤٩,٣	١٢٨,٣
٤	٥٠٠٠ - ١٥٠٠	تعريه معتممة	٣٢,٨	٨٥,٤
٥	١٣٠٠٠ - ٥٠٠٠	تعريه قوية	٢,٤	٦,٤

المصدر: من عمل الباحث بالاعتماد على الشكل (١٥) باستخدام برنامج Arc Map10.8

ما يعني ان التعرية المتوسطه والمعتممه معاً يشكلان ما نسبته ٨٢,١% من مساحة المنطقة ، مما يدل على ضرورة الحذر والعمل على التحسين واخذ الاحتياطات اللازمه من الاخطار الطبيعيه التي تهدد مشاريع التنمية المستدامه للدولة خاصة وان الوادى في موضع غاية في الاهمية حيث يمر به طريق القطاميه - العين السخنه من الشرق الى الغرب ، والطريق الدائري، وطريق شق الثعبان ، بالإضافة الى محاجر الحجر الجيري في الجزء الجنوبي.

### الخاتمة

#### النتائج :

- تبين من دراسة الخصائص الطبيعية لوادي دجلة أن التكوينات السطحية بالوادي يتراوح عمرها بين الإيوسين الأوسط والهولوسين. وأن متوسط درجات الحرارة يبلغ ٢١.٨ درجات ب مدى حراري يصل إلى ١٠٠.٨ درجات، مما يشير إلى نشاط عملية التجوية مما يؤدي بدوره إلى نفاذ الصخور وسهولة تعرية التربة، كما تبين سيادة الاتجاه الشمالي الشرقي للرياح بمنطقة الدراسة مما يساعد على تعرية المفترقات من القطاع الأعلى للوادي، وقد بلغ متوسط كمية المطر نحو ٧ مم سنوياً؛ حيث أن المنطقة الدراسة تقع ضمن الأقاليم الصحراوي شديد الجفاف، إلا أن الأمطار الفجائية من سمات الأقاليم الصحراوي .
- تتوفر بالمحمية طرق النقل المرصوفة والمدقات ومن أهمها طريق القطاميـة- العين السخنة، والطريق الدائري وطريق شق الثعبان، وتوجد منطقة المحاجر في الجزء الجنوبي الغربي.
- تبين من دراسة معامل قابلية التربة للتعرية سيادة الفئة شديدة المقاومة، يليها الفئة متوسطة المقاومة.

- اتضح من دراسة معامل حماية التربة  $X_a$  سيادة المساحات الجرداة بنسبة ٩٧٪ من إجمالي مساحة وادي دجلة ؛ مما يساعد على تعرية التربة .
- يوضح مؤشر تطور التعرية أن ٨٠٪ من إجمالي مساحة المنطقة يقع ضمن الفئة شديدة التعرية .
- يتبع من دراسة معامل التعرية المحتملة  $Z$  أن ٤٥٪ من إجمالي مساحة وادي دجلة تقع ضمن الفئة الشديدة .
- تبين من تطبيق معادلة قياس المعدل السنوي للتعرية  $W$  أن فئة التعرية المتوسطة (٥٠٠-١٥٠٠ م<sup>٣</sup>/كم<sup>٢</sup>/السنة) شغلت أكبر نسبة من مساحة الوادي بنسبة ٤٩.٣٪ ، بينما شغلت فئة التعرية المعمرة (١٥٠٠-٥٠٠٠ م<sup>٣</sup>/كم<sup>٢</sup>/السنة) ٣٢.٨٪ من إجمالي مساحة وادي دجلة .

#### **التوصيات :**

يتطلب تطوير التنمية المستدامة في المناطق المعرضة لخطر التعرية المائية للتربة مجموعة من الإجراءات والتدابير لتقليل تأثيرها ، ويجب تبني هذه الإجراءات والتدابير بشكل شامل ومستدام لضمان حماية المجتمعات المعرضة لخطر ، وتحقيق التنمية الاقتصادية والاجتماعية في تلك المناطق لذا توصي الدراسة بما يلي :

- ١- استخدام نموذج جافريلوفيك (EPM) قبل عملية التخطيط والتنمية في المناطق الجبلية.
- ٢- تفعيل استخدام التقنيات الحديثة في نظم المعلومات الجغرافية.
- ٣- إنشاء السدود على طول المجاري الرئيسية للوادي ، بهدف تخزين مياه السيول والاستفاده منها ، والحد من انجراف التربة.
- ٤- إنشاء معابر أسفل الطريق الجديد الذي يقع في خط مجرى الوادي.

مجلة كلية الآداب بالوادى الجديد - مجلة علمية محكمة - ديسمبر ٢٠٢٤

المراجع العربية:

- ١) إبراهيم عبد الله قائد درويش (٢٠٢١) تطبيق نموذج جافريلوفيك لتقدير التعرية المائية في حوض وادي الزبيرة جنوب شرق محافظة تعز(اليمن) باستخدام الاستشعار عن بعد ونظم المعلومات الجغرافية ، المجلة العربية لنظم المعلومات الجغرافية، مجلد ١٤ ، عدد ٢ ، السعودية.
- ٢) إسماعيل حويفل : (١٩٩١) ، أساسيات علم الأراضي ، الجزء الأول ، مكتبة الشهابي للطباعة والنشر
- ٣) أميرة محمد محمود البنا: (٢٠٢٤) النماذج المكانية للتعرية المائية للترابة بحوض قادى سوريا باستخدام تقنيات الجيومورفومترى ما تيكس ، مجلة كلية الآداب ، عدد ٢٩ ، بور سعيد ، كلية الآداب.
- ٤) جمال حمدان : (١٩٨٠) شخصية مصر ، الجزء الأول ، عالم الكتب ، القاهرة.
- ٥) جمال شعوان: (٢٠١٣) توظيف الاستشعار عن بعد ونظم المعلومات الجغرافية في التقديم الكمي للتعرية المائية بحوض أمزاز (الريف الأوسط) من خلال نموذج جافريلوفيك، مجلة جغرافية المغرب، عدد ٢، المجلد ٢٨.
- ٦) جياز شوف البيئة : (١٩٩٣) إدارة المحميات الطبيعية، المحميات الطبيعية في مصر .
- ٧) حمدي نينه عيد حمد (٢٠٢١) توظيف الاستثمار من بعد ونظم المعلومات الجغرافية في التقدير الكمي للتعرية المائية بحوض وادي العريش باستخدام نموذج جافريلوفي ، مجلة الدراسات الإنسانية والادبية ، عدد ٢٥ ، مصر
- ٨) رغده امام عبد الوهاب الدالى: (٢٠١٦) الاخطار الطبيعية على طريق المعادي العين السخنة باستخدام نظم المعلومات الجغرافية وتقنيات الاستشعار عن بعد ، رساله ماجستي ، قسم الجغرافيا ، كلية الآداب ، جامعه بنها
- ٩) زينب جبر عواد : (٢٠٢٤) نماذج المخاطر البيئية للتعرية المائية في قضاء مادت محافظة السليمانية ، الدراسات المستدامه ، مجلد ٦
- ١٠) سعد ابوراس الغامدي: (٢٠٠٩) تطبيق نموذج جافريلوفيك لتقدير مخاطر التعرية المائية في حوض وادي نعمان بوسائل تقنيات الاستثمار عن بعد ونظم المعلومات الجغرافية ، المجلة المصرية للتغير البيئي ، مجلد ١ ، عدد ١ ، القاهرة الأرض والإنسان، دار الثقافة العربية. ، القاهرة.
- ١١) سمير سامي محمود: (٢٠٠٣)

- (١٢) سمير سامي محمود: (١٩٨٩) منطقه جنوب شرق القاهرة (شرق المعادي وحلوان) دراسه جيومورفولوجية ، رسالة ماجستر ، قسم الجغرافيا ، كلية الاداب ، جامعه القاهرة .
- (١٣) السيد أحمد الخطيب : (١٩٩٨) استخدام الجيوماتكس لتقدير مخاطر التعرية المائية في حوض وادي خزوري بتطبيق جمود EPM ، مجلة مركز البحوث الجغرافية الكراتوجرافية ، العدد ٢٧ ، المنوفيه.
- (١٤) صلاح محمد صالح دباب: (٢٠١٩) لنذجه المكانية لنشاط عمليات التعرية باعتماد نموذج EPM وباستخدام تقنيات الجيوماتكس : وادي الثثار حالة دراسة ، مجلة جامعه الابنار للعلوم الانسانيه ، بودع ، ١١٢ - ١٣٠
- (١٥) عبد القادر مهدى صالح، احمد فليج فياض اللهيبي: (٢٠٢٢) تلوث الهواء فى محافظة القاهرة دراسة فى الجغرافيا التطبيقية، رسالة ماجستير، غير منشورة ، كلية الآداب ، جامعة القاهرة.
- (١٦) علاء السيد : (١٩٩٩) تقدير تعرية التربه في حوض وادي وثيلات جنوبى مدينة الرياض بالملكه العربيه السعوديه : دراسة في الجيومورفولوجية البيئيه ، مجلة البحث العلمي في الاداب ، العدد الثاني ، الجزء الأول .
- (١٧) فرحان لجعيدي ، محمد بوريه: (٢٠٢١) تقييم نماذج لارتفاع لرقمه في التحليل الجيومورفولوجي للمدمرات مع التطبيق على الجزء الأدنى لحوض دجلة - جنوب شرق القاهرة ، محله كلية الاداب ، جامعه طنطا، العدد ٣٠.
- (١٨) محمد إبراهيم محمد خطاب، (٢٠١٧) التقىيم الكمي للتعرية المائية بالريف الأوسط الجنوبي الشرقي ، حاله جوض واد برون - المغرب ، المجلة العربيه للعلوم ونشر الأبحاث مجلد - ١ ، عدد ١
- (١٩) محمد الصنهاجي: (٢٠٢٤) الأرضي الزراعية المشاكل والمستقبل ، المكتبة الأكاديمية.
- (٢٠) محمد راغب الزناتى وأحمد محمد بدوى : (١٩٩٥) المحمييات الطبيعية في مصر ، مكتبه الاسره ، القاهرة جيومورفولوجية الجانب الشرقي لوادسي النيل فيما بين وادي دجله وحوف باستخدام نظم المعلومات الجغرافية ، رساله دكتوراه ، كلية الاداب للبنات ، جامعه عين شمس
- (٢١) محمد على احمد : (٢٠٠٧) تحليل جيومورفولوجي لتأثير الانسان في هضبه المقطم باستخدام الاستشعار عن بعد ونظم المعلومات الجغرافية والنماذج ، مجلة الانسانيات ، كلية الاداب ، جامعه دمنهور ، ع. ٤٦.
- (٢٢) مدحت سيد احمد الانصارى: (٢٠١٦) (٢٠٢١) (٢٠٢٤)

مجلة كلية الآداب بالوادى الجديد - مجلة علمية محكمة - ديسمبر ٢٠٢٤

تقييم الاثر البيئي في محميه وادي دجلة باستخدام نظم المعلومات الجغرافية Gis ، محلة المجمع العلمي المصري المجلد ٨٠ .

## المراجع الأجنبية:

- Abdallah,A.M.&Philip, G., and Ghobrial, G.A, (1973) Geomorphologic Studies on the Area East of Maadi,bull. Of the fac.of sci,Cairo Univ., No. 46, PP. 457-471.
- Amir, F., Chaichi, M., and T. Tabatabai (2007) Modeling soil erosion and Sedimentation by EPM model in center part of Iran. Presented at the XVII INQUA Congress 2007, Cairns, Australia.
- Gandomkar, A. (2008). The use of GIS in estimating the real erosion in Zayandehrood basin. Presented at GIS Ostrava 2008, Ostrava
- Gavrilovic, Z., M. Stefanovic, M. Milojevic ,and J. Cotric (2006). Erosion Potential Method" An Important Support For Integrated Water Resource Management. Presented at XXIIIth Conference of the Danubian Countries on the Hydrological Forecasting and Hydrological Bases of Water Management, Bled, Slovenia.
- Ghobrial,G.A.,(1971) Geological studies in the area east of maadi U.A.R., unpublished M.sc. thesis,Fac. Of Sci.,Cairo univ.
- Karaburun, A., (2010): Estimation of C factor for soil erosion modeling using NDVI in Buyukcekmece watershed. Ozean Journal of Applied Sciences 3 (1), PP.88-85.
- Kassas M. & W.A. Grgis,(1965) Habitat and Plant Communities In The Egyptian Desert, vi. the Units of a Desert Ecosystem Blakwell Scientific Publications, Oxford, November, PP. 715-728.
- Kassas, M.& Imam ,M., (1954) Habitat and Plant Communities In The Egyptian Desert, III.The Wadibed Ecosystem, Journal of Ecology, vol. 42, No.2, July, , PP. 425-441.
- Lin, C., W. Lin, and W. Chou (2002). Soil erosion prediction and sediment yield estimation: the Taiwan experience. Soil & Tillage Research, 68: 143–152.
- Ostric, M. and B. Horvat (2008) Land cover/Land use change impact in surface runoff in a small watershed. Presented at XXIVth Conference of the Danubian Countries on the Hydrological Forecasting and Hydrological Bases of Water Management, Bled, Slovenia.
- Stefanovic, M., Z. Gavrilovic and M. Milojevic (2004). Erosion Potential method and erosion risk zoning in mountainous regions. In Internatioales Symposion Iterprevent-RIVATRIENT.
- Vente, J. and J. Poesen (2005). Predicting soil erosion and sediment yield at the basin scale: Scale issues and semi-quantitative models. *Earth-Science Reviews*, 71: 95–125.
- Wischmeier, W.H. and Smith, D.D. (1978): Predicting Rainfall Erosion Losses. A Guide to Conservation Planning. The USDA Agricultural Handbook No. 538, Maryland.
- Woodruff, N. P., Siddoway F. H., (1965): A wind erosion equation. Science Society of America Proceedings 26, PP.602–608.
- Zachar D. (1982): Soil Erosion Amsterdam: Elsevier science publishing company
- Zorn, M, and B. Komac (2008). Response of soil erosion to land use change with particular reference to the last 200 year (Julian Alps, Western Slovenia). Presented at XXIVth Conference of the Danubian Countries on the Hydrological Forecasting and Hydrological Bases of Water Management, Bled, Slovenia.
- Zorn, M. and Komac, B, 2005: soil erosion on agricultural land in Slovenia- measurements of rill erosion in the besnica valley. Acta geographic slovenica 45-1. Ljubljana.